

Non-linear Dynamics & Structure Biology (SS24)

VL SS2024, Dr. habil. Philipp Hövel

philipp.hoewel@uni-saarland.de

Er.6, Raum 4.03

22.5 VL: Mi 10-12 Er.6 EM
Do 12-14 Er.6 EM
7.5 UE: S.O. } 3 SWS VL } 95h
1 SWS UE } = 105h
60h

90h Vor-/Nachbereitung

→ 150h ≈ 5 ECTS

MSc Physik / Biophysik

$$\Rightarrow \frac{VL+UE}{ECTS-Zeit} = \frac{60h}{90h} = \frac{2}{3} \Rightarrow 2:3$$

Note: - Übungsgruppen bzw. Seminarvorlesung

- anschließend mündliche Prüfung

Stil: research orientiert, anregend, inkludierend, kommunikativ

viele Hinweise rechts & links geben

"Bergführer" & "Coach"

→ Glossar: = individuell

- Def., Begriffe

- Erklärungen, Bilder...

1. Dynamische Systeme

Nicht lineare Dynamik - wichtige Fragestellungen:

- Lagezeitverhalten
- Abhängigkeit von äußeren Parametern (Kontrolle)
- \dots kleinen Störungen
- \dots Ungenauigkeiten der Anfahrbedingungen
- globale Aussagen über den dynamischen Fluss
 - ↳ Gesamtheit aller Bahn
- geordnete / ungeordnete Systeme
- ...

⇒ qualitative Dynamik

Bsp.: $\dot{x} = \sin x$

↳ Trennung der Variablen:

$$dt = \frac{dx}{\sin x} \Rightarrow t = \int \frac{1}{\sin x} dx = \ln \left| \frac{\sin x}{1 + \cos x} \right| + C$$

$$= -\ln | \csc x + \cot x | + C$$

$$= \ln \left| \frac{1}{\sin x} + \frac{\cos x}{\sin x} \right| + C$$

$$= \ln \left| \tan \frac{x}{2} \right| + C$$

etwa: $x = x_0$ bei $t=0$

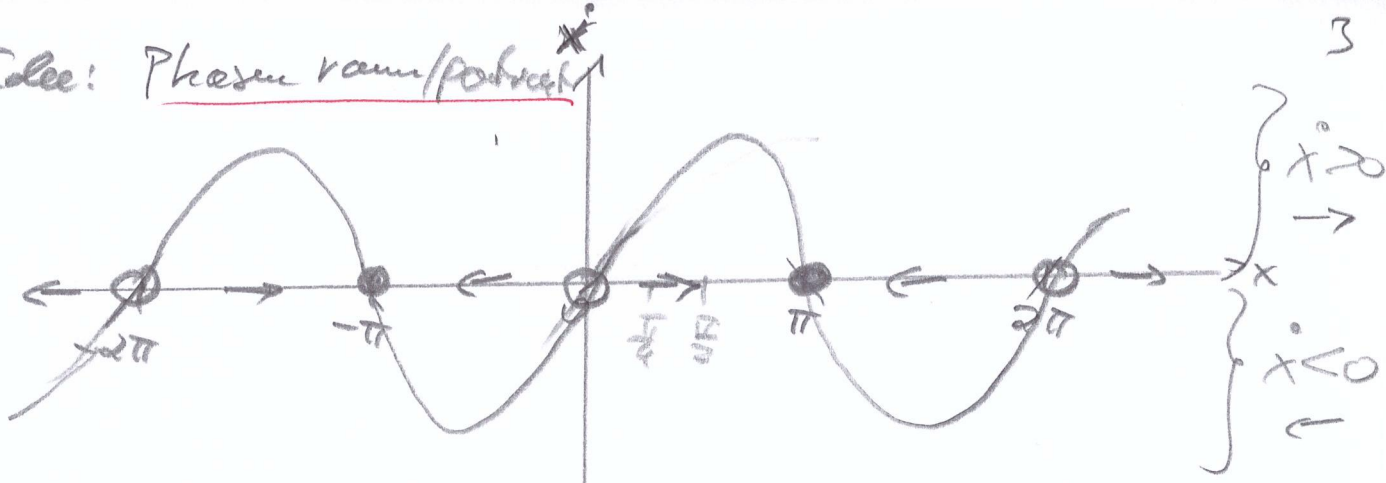
$$\Rightarrow C = \ln | \csc x_0 + \cot x_0 |$$

$$\Rightarrow x(t) = \ln \left| \frac{\csc x_0 + \cot x_0}{\csc x + \cot x} \right|$$

Q: $x_0 = \frac{\pi}{4} \Rightarrow \lim_{t \rightarrow \infty} x(t) = ?$

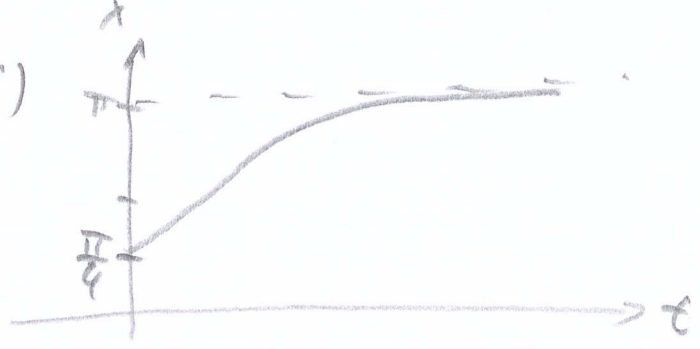
iii) x_0 beliebig $\Rightarrow \lim_{t \rightarrow \infty} x(t) = ?$ } Lagezeitverhalten

Idee: Phasenraum/plot



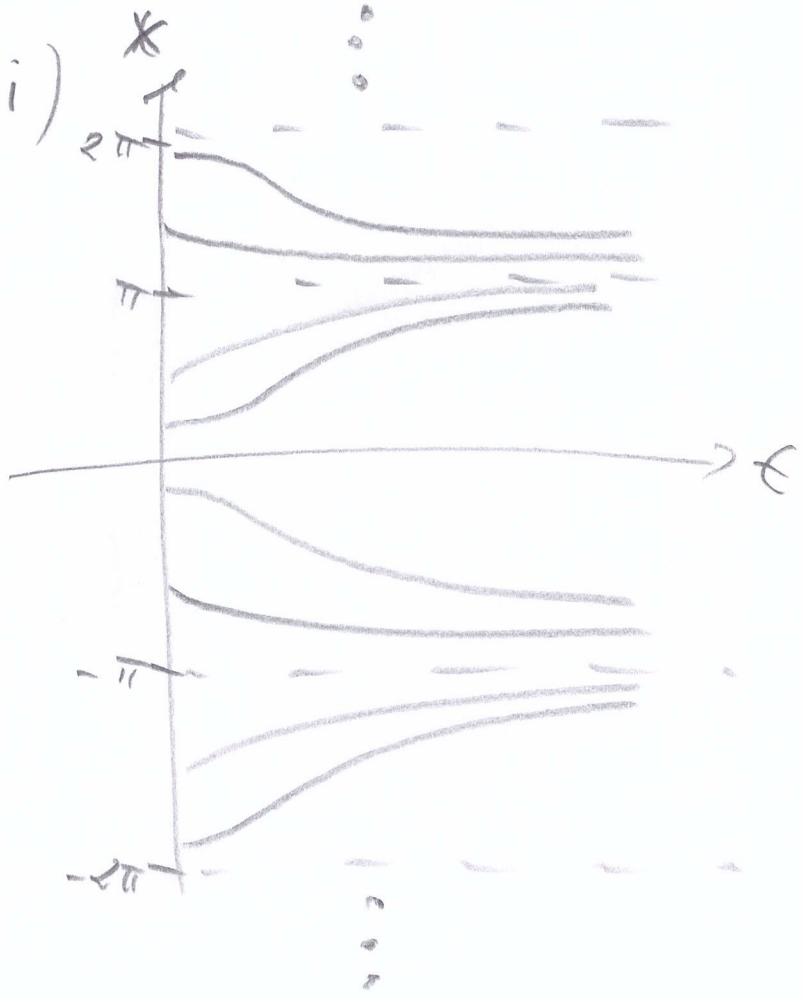
$\dot{x} = 0 \Rightarrow x = n\pi$

(i)



Trajektorie

(ii)



Analytische Dynamik: Fluss als Ganzes, Stabilität, topologische Struktur, Langzeitverhalten

1.1. Vektorfelder als dynam. Systeme

Dynamik vieler Systeme lässt sich als System von (wichtiger) Dgl'n 1. Ordnung formulieren:

$$\dot{x} = F(x(t), t)$$

$x \in \mathbb{R}^n$ dyn. Var. \mathbb{R}^n Vektorfeld

determinist. dyn. System

z.B. Newton'sche Beweg. gl. mit Reibung

$$\ddot{y} + f_1(y, t) \dot{y} + f_2(y, t) = 0$$

Reibung Kraft

$$\left. \begin{aligned} x_1 &:= y \\ x_2 &:= \dot{y} \end{aligned} \right\} \begin{aligned} \dot{x}_1 &= x_2 \\ \dot{x}_2 &= -f_1 x_2 - f_2 \end{aligned}$$

Speziell Hamilton'sche Systeme:

$$\left. \begin{aligned} x_1 &= q \\ x_2 &= p \end{aligned} \right\} \begin{aligned} \dot{x}_1 &= \frac{\partial H}{\partial p} \\ \dot{x}_2 &= -\frac{\partial H}{\partial q} \end{aligned} \quad H(q, p) \text{ Hamilton-fkt.} \quad \left. \begin{aligned} & \\ & \end{aligned} \right\} \text{Steuer}$$

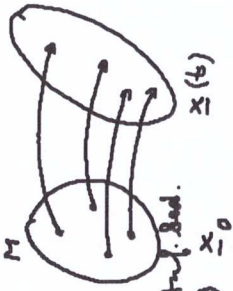
Fluss des Vektorfeldes F

auf der Mannigfaltigkeit M: (Phasenraum, z.B. \mathbb{R}^n)

$$\phi : M \times \mathbb{R}_t \rightarrow M$$

mit $\phi(x_0, t) = \phi_t(x_0)$

(Genauigkeit der Bahnkurven) x_0 = Trajektorien $x(t)$



$$\ddot{y} + f_1 \dot{y} + f_2 y = F \cos t$$

↳ Dimensionieren? $\Rightarrow 3$

$$\left. \begin{aligned} x_1 &= y \\ x_2 &= \dot{y} \\ x_3 &= t \end{aligned} \right\} \begin{aligned} \dot{x}_1 &= x_2 \\ \dot{x}_2 &= -f_1 x_2 - f_2 x_1 + F \cos x_3 \\ \dot{x}_3 &= 1 \end{aligned} \Rightarrow x_3(t) = t + t_0$$

\Rightarrow n-te Ordnung + Zeite $\hat{=} (n+1)$ te Ordnung

Linear

Nonlinearity

Nonlinear

Number of variables \longrightarrow

$n = 1$

*Growth, decay, or
equilibrium*

$n = 2$

Oscillations

$n \geq 3$

Chaos

$n \gg 1$

Collective phenomena

Continuum

Waves and patterns

The frontier

Spatio-temporal complexity

Fixpunkt \underline{x}^* des autonomen dyn. Systems $\dot{\underline{x}} = \underline{F}(\underline{x})$:
 (stationäre Pkte., Gleichgewichtspkte., singuläre Pkte., krit. Pkte.)

$$0 \stackrel{!}{=} \dot{\underline{x}} = \underline{F}(\underline{x}^*) \Rightarrow \underline{x}^*$$

Stabilität eines Fixpunktes: 

Test durch Linearisierung für kleine Abweichungen.
 $\delta \underline{x} := \underline{x} - \underline{x}^*$; stabil (instabil) indiff.

$$\delta \dot{x}_i = \sum_{k=1}^n \left(\frac{\partial F_i}{\partial x_k} \right)_{\underline{x}^*} \delta x_k$$

$$\delta \dot{\underline{x}} = (DF)_{\underline{x}^*} \delta \underline{x} \quad \text{mit } \underline{J} = \text{Jacobi-Matrix } DF$$

System von lin. Dgl. mit konst. Koeff.

$$\text{Lösungsansatz } \delta \underline{x}(t) = \underline{\xi} e^{\lambda t} \Rightarrow \lambda \underline{\xi} = A \underline{\xi}$$

$\det(A - \lambda I) = 0$ liefert Eigenwertgl.

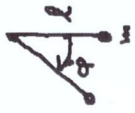
λ_k : Eigenwerte
 $\underline{\xi}^{(k)}$: Eigenvektoren } der Jacobi-Matrix $(DF)_{\underline{x}^*} = A$

$$\text{allg. Lösung: } \delta \underline{x}(t) = \sum_{k=1}^n c_k \underline{\xi}^{(k)} e^{\lambda_k t}$$

(Annahme: keine entarteten Eigenwerte λ_k
 c_k durch Anfangsbed. bestimmt)

Beispiele: (i) Ebenes Pendel $m l \ddot{\varphi} + mg l \sin \varphi = 0$

$$\left. \begin{array}{l} x_1 = \varphi \\ x_2 = \dot{\varphi} = ml \dot{\varphi} \end{array} \right\} \begin{array}{l} \dot{x}_1 = \frac{x_2}{ml} \\ \dot{x}_2 = -mg l \sin x_1 \end{array}$$



x^* : Fixpunkte eines autonomen Systems $\dot{x} = F(x)$

$$\Rightarrow \dot{x} = 0 = F(x^*)$$

(lineare) Stabilitätsanalyse: $\delta x = x - x^*$ (kleine Auslenkungen)

\Rightarrow in 1. Näherung: $\delta \dot{x} = \left(\frac{DF}{\underline{\underline{}}} \right)_{x^*} \delta x$, $\underline{\underline{DF}}$: Jacob.-Matrix

$$\delta \dot{x}_i = \sum_{k=1}^n \left(\frac{\partial F_i}{\partial x_k} \right)_{x^*} \delta x_k$$

nullte Näherung: $F(x^*) = 0$

\Rightarrow System von linearen DGLs mit konstanten Koeffizienten

\Rightarrow Lösungsansatz: $\delta x(t) = \sum e^{\lambda t}$

$$\Rightarrow \lambda \sum e^{\lambda t} = \underbrace{\left(\frac{DF}{\underline{\underline{}}} \right)_{x^*}}_{=: A} \sum e^{\lambda t}$$

$$\Leftrightarrow \lambda \underline{\underline{\xi}} = \underline{\underline{A}} \underline{\underline{\xi}} \quad \text{Eigenwertgleichung}$$

Berechnung von λ : $\det(\underline{\underline{A}} - \lambda \underline{\underline{I}}) = 0$ liefert λ_k : Eigenwerte
 \uparrow
Eigenmatrix $\sum \underline{\underline{\xi}}^{(k)}$: Eigenvektoren
 $k=1, \dots, n$

allgemeine Lösung: $\delta x(t) = \sum_{k=1}^n c_k \sum \underline{\underline{\xi}}^{(k)} e^{\lambda_k t}$

Bsp: (i) Ebene/ mathematisches Pendel

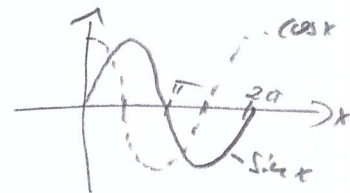


$$m l \ddot{\varphi} + m g \sin \varphi = 0$$

Euler-Lagrange $[m l \ddot{\varphi}] = \frac{d}{dt} \left[\frac{m g l \sin \varphi}{} \right]$

$$\left. \begin{aligned} x_1 &= \varphi \\ x_2 &= \dot{\varphi} = \frac{1}{m l} \dot{x}_1 \end{aligned} \right\} \Rightarrow$$

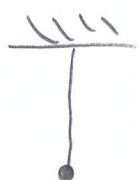
$$\begin{aligned} \dot{x}_1 &= \frac{x_2}{m l} \\ \dot{x}_2 &= -m g \sin x_1 \end{aligned}$$



Fixpunkte: $\dot{x}_1 = 0 = \dot{x}_2 \Rightarrow x_2 = 0, x_1 = n\pi$ (mit $n \in \mathbb{Z}$)

Linearisierung: $\begin{pmatrix} \dot{x}_1 \\ \dot{x}_2 \end{pmatrix} = \begin{pmatrix} 0 & \frac{1}{m l} \\ -m g \cos x_1 & 0 \end{pmatrix} \begin{pmatrix} \delta x_1 \\ \delta x_2 \end{pmatrix}$

a) $x_1^* = x_2^* = 0$ (oder auch $x_1^* = 2n\pi, n=1,2,\dots$)

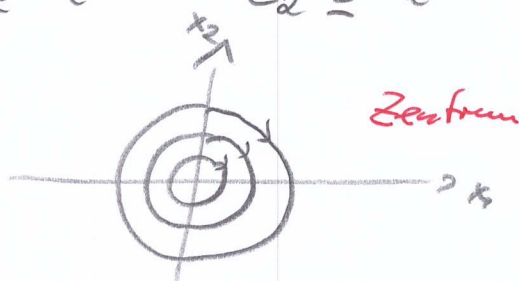


$$A = \begin{pmatrix} 0 & \frac{1}{m l} \\ -m g & 0 \end{pmatrix} \Rightarrow \det \begin{pmatrix} -\lambda & \frac{1}{m l} \\ -m g & -\lambda \end{pmatrix} = \lambda^2 + \frac{g}{l} = 0$$

$$\Rightarrow \lambda_{1,2} = \pm i \sqrt{\frac{g}{l}} = \pm i \omega$$

$$\Rightarrow \underline{x}(t) = \underline{\delta x}(t) + \underline{x}_{\text{fix}}^* = C_1 \int^{(1)} e^{+i\omega t} + C_2 \int^{(2)} e^{-i\omega t}$$

ungedämpfte Schwingung



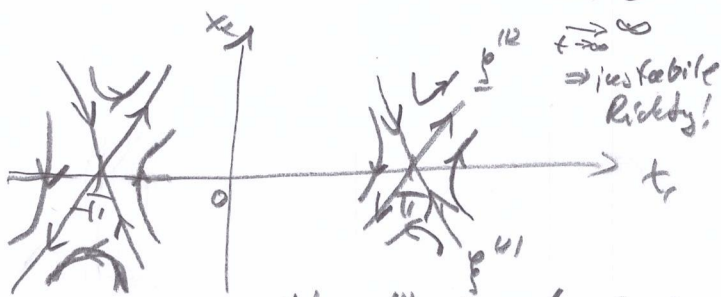
b) $x_2^* = 0, x_1^* = \pi$ (oder $x_1^* = (2n+1)\pi$)



$$A = \begin{pmatrix} 0 & \frac{1}{m l} \\ m g & 0 \end{pmatrix} \Rightarrow \det \begin{pmatrix} -\lambda & \frac{1}{m l} \\ m g & -\lambda \end{pmatrix} = \lambda^2 - \frac{g}{l} = 0$$

$$\Rightarrow \lambda_{1,2} = \pm \sqrt{\frac{g}{l}}$$

$$\Rightarrow \underline{\delta x}(t) = C_1 \int^{(1)} e^{+\sqrt{\frac{g}{l}} t} + C_2 \int^{(2)} e^{-\sqrt{\frac{g}{l}} t}$$



Sattelpunkt

Auslet-Spuren nicht! \Rightarrow $\int^{(1)} \int^{(2)}$ Achten: lokale Aussagen!

(ii) Ebene Pendel mit Reibung: $\ddot{\varphi} + 2\gamma \dot{\varphi} + \omega^2 \sin \varphi = 0$

↳
$$\begin{cases} \dot{x}_1 = \frac{x_2}{ml} \\ \dot{x}_2 = -mg \sin x_1 - 2\gamma x_2 \end{cases} \quad \text{Fixpunkte untersuchen}$$

Linearisierung:
$$\begin{pmatrix} \dot{x}_1 \\ \dot{x}_2 \end{pmatrix} = \begin{pmatrix} 0 & \frac{1}{ml} \\ -mg \cos x_1 & -2\gamma \end{pmatrix} \begin{pmatrix} \delta x_1 \\ \delta x_2 \end{pmatrix}$$

a) $x_1^* = x_2^* = 0$

$$A = \begin{pmatrix} 0 & \frac{1}{ml} \\ -mg & -2\gamma \end{pmatrix} \Rightarrow 0 = \begin{vmatrix} -\lambda & \frac{1}{ml} \\ -mg & -2\gamma - \lambda \end{vmatrix} = \lambda^2 + 2\gamma\lambda + \frac{mg}{l}$$

$$\Rightarrow \lambda_{1,2} = -\gamma \pm i \sqrt{\omega^2 - \gamma^2}$$

(a₁) Schwache Reibung: $\gamma^2 < \omega^2$

$$\delta x(t) = C_1 \int^{(1)} e^{-\gamma t} e^{i\sqrt{\omega^2 - \gamma^2} t} + C_2 \int^{(2)} e^{-\gamma t} e^{-i\sqrt{\omega^2 - \gamma^2} t}$$

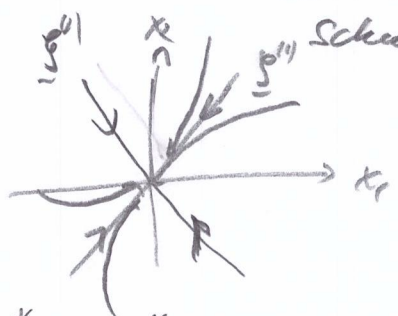
gedämpfte Schwingen:



(a₂) Starke Reibung: $\gamma^2 > \omega^2$

$$\Rightarrow \lambda_{1,2} = -\gamma \pm \sqrt{\gamma^2 - \omega^2} < 0$$

$$\Rightarrow \delta x(t) = C_1 \int^{(1)} e^{(-\gamma - \sqrt{\gamma^2 - \omega^2}) t} + C_2 \int^{(2)} e^{(-\gamma + \sqrt{\gamma^2 - \omega^2}) t}$$



Schnellere Richtung

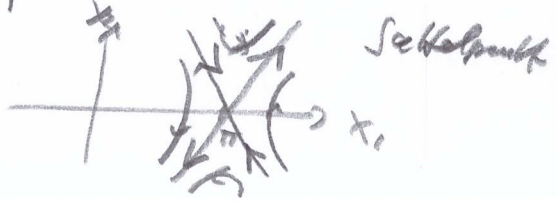
Langsamere Richtung

Stabiler Knoten

b) $x_1^* = \pi, x_2^* = 0$

$$\Rightarrow A = \begin{pmatrix} 0 & \frac{1}{ml} \\ mg & -2\gamma \end{pmatrix} \Rightarrow 0 = \begin{vmatrix} -\lambda & \frac{1}{ml} \\ mg & -2\gamma - \lambda \end{vmatrix} = \lambda^2 + 2\gamma\lambda - \omega^2 = 0$$

$$\Rightarrow \lambda_{1,2} = -\gamma \pm \sqrt{\omega^2 - \gamma^2} \Rightarrow \begin{cases} \lambda_1 > 0 \\ \lambda_2 < 0 \end{cases}$$



Sattelpunkt

1.2. Stabilität und Langzeitverhalten

Sei x^* Fixpunkt des dynamischen Systems $\dot{x} = F(x, t)$.

Def: x^* heißt **(Ljapunov-) stabil**, wenn es zu jeder Umgebung U von x^* eine Umgebung V von x^* gibt, so dass gilt:

$$x \in V \Rightarrow \phi(x, t) \in U \quad \forall t \geq 0.$$



"Trajektorien bleiben in der Nähe" (Zentren eingeschlossen)

Kriterium: Kein Eigenwert von $(DF)_{x^*}$ positiv ($\lambda = 0$ erlaubt)

Def: x^* heißt **asymptotisch stabil**, wenn zu x^* eine Umgebung U existiert, so dass gilt:

(i) $\phi(U, t_2) \subset \phi(U, t_1) \subset U$ für $0 < t_1 < t_2$

(ii) $\lim_{t \rightarrow \infty} \phi(x, t) = x^* \quad \forall x \in U$

Kriterium: Alle Eigenwerte von $(DF)_{x^*}$ negativ.

Def: Ein dynamisches System heißt **dissipativ**, wenn Phasenraumvolumina schrumpfen

Aufgabe zum Deuten bis VL 3:

$$\text{Hamiltonsche Systeme: } \dot{q}_k = \frac{\partial H}{\partial p_k}, \quad \dot{p}_k = -\frac{\partial H}{\partial q_k}$$

Frage: Sind Fixpunkte Hamiltonscher Systeme
asymptotisch stabil?

allgemeines Sg-System mit $n=2$

$$\begin{pmatrix} \dot{x}_1 \\ \dot{x}_2 \end{pmatrix} = \begin{pmatrix} a_{11} & a_{12} \\ a_{21} & a_{22} \end{pmatrix} \begin{pmatrix} x_1 \\ x_2 \end{pmatrix} \Leftrightarrow \underline{\dot{x}} = \underline{A} \underline{x}$$

Eigenwerte von \underline{A} :

$$\begin{aligned} 0 &\stackrel{!}{=} \det(\underline{A} - \lambda \underline{1}) = (a_{11} - \lambda)(a_{22} - \lambda) - a_{12} a_{21} \\ &= \lambda^2 - \lambda(a_{11} + a_{22}) + a_{11} a_{22} - a_{12} a_{21} \\ &= \lambda^2 - \lambda \underbrace{(a_{11} + a_{22})}_{= \text{tr} \underline{A} \text{ (Spur)}} + \underbrace{a_{11} a_{22} - a_{12} a_{21}}_{= \det \underline{A}} \\ &= \lambda^2 - \lambda \text{tr} \underline{A} + \det \underline{A} \end{aligned}$$


$$\Rightarrow \lambda_{1,2} = \frac{1}{2} (\text{tr} \underline{A} \pm \sqrt{(\text{tr} \underline{A})^2 - 4 \det \underline{A}})$$

Bemerkung: $\text{tr} \underline{A} = \sum_{i=1}^n \frac{\partial \vec{F}_i}{\partial x_i} = \text{div} \vec{F}$ (Divergenz)

Fallunterscheidung:


(a) **stabiler Fokus**: $\det \underline{A} > 0$, $\text{tr} \underline{A} < 0$

Für $(\text{tr} \underline{A})^2 < 4 \det \underline{A}$: $\lambda_{1,2} = -\lambda_0 \pm i\omega$ mit $\lambda_0, \omega > 0$

\Rightarrow gedämpfte Oszillationen 

(b) **instabiler Fokus**: $\det \underline{A} > 0$, $\text{tr} \underline{A} > 0$

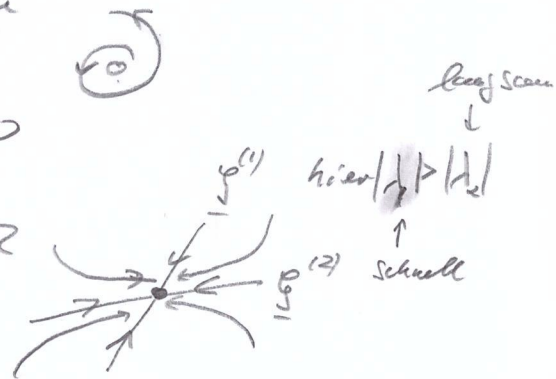
Für $(\text{tr} \underline{A})^2 < 4 \det \underline{A}$: $\lambda_{1,2} = +\lambda_0 \pm i\omega$ mit $\lambda_0, \omega > 0$

\Rightarrow entdämpfte Oszillationen 

(c) **stabiler Knoten**: $\det \underline{A} > 0$, $\text{tr} \underline{A} < 0$

Für $(\text{tr} \underline{A})^2 > 4 \det \underline{A}$: $\lambda_1 < 0$, $\lambda_2 < 0$ $\left. \vphantom{\lambda_1, \lambda_2} \right\} \in \mathbb{R}$

\Rightarrow exponentieller Zerfall



(d) **instabiler Knoten**: $\det \underline{A} > 0$, $\text{tr} \underline{A} > 0$

Für $(\text{tr} \underline{A})^2 > 4 \det \underline{A}$: $\lambda_1 > 0$, $\lambda_2 > 0$ $\left. \vphantom{\lambda_1, \lambda_2} \right\} \in \mathbb{R}$

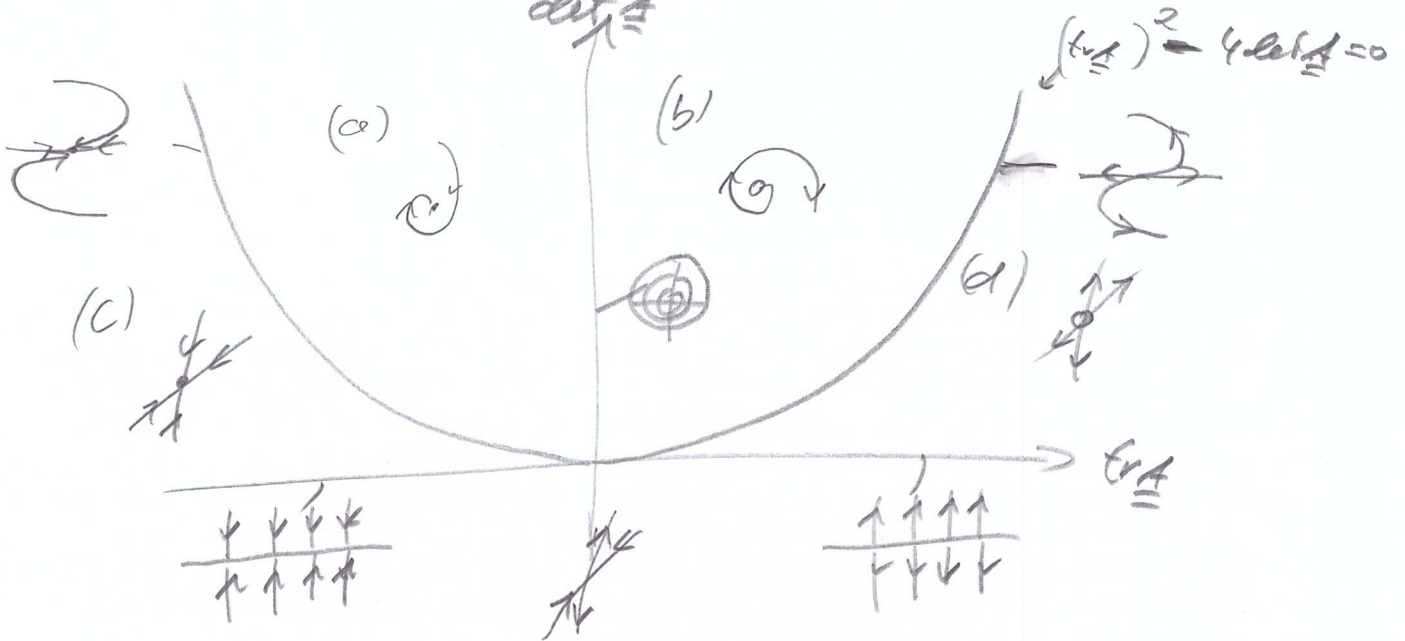
\Rightarrow exponentielle Entfernungen 

(e) Sattelpunkt: $\det A < 0$

$$\left. \begin{array}{l} \lambda_1 > 0 \\ \lambda_2 < 0 \end{array} \right\} \in \mathbb{R}$$



alles zusammen in der $(tr A, \det A)$ -Ebene:



Grenze zwischen den 5 Bereichen: entartete Fälle
=> Lineare Stabilitätsanalyse versagt
(Zentrum, schwach stabil / instabil, Fokus)

Hamiltonsche Vektorfelder:

$$\dot{q}_k = \frac{\partial H}{\partial p_k}, \quad \dot{p}_k = -\frac{\partial H}{\partial q_k}$$

(Linerisierung um Fixpunkt x^* : $\delta \underline{x} = \underline{x} - \underline{x}^* \Rightarrow \delta \dot{\underline{x}} = \underline{A} \delta \underline{x}$

$$= \sum_{k=1}^{2f} \left(\frac{\partial F_i}{\partial x_k} \right)_{x^*} \delta x_k$$

$$\Rightarrow \text{tr} \underline{A} = \text{div} \underline{F} = \sum_{k=1}^{2f} \left(\frac{\partial}{\partial q_k} \frac{\partial H}{\partial p_k} - \frac{\partial}{\partial p_k} \frac{\partial H}{\partial q_k} \right) = 0$$

Aus $0 = \text{tr} \underline{A}$ folgt: Keine asymptotisch stabilen Fixpunkte möglich!

Beweis: Sonst müßten alle $\text{Re} \lambda_k < 0$ sein!

$$\Rightarrow \text{tr} \underline{A} = \sum_{k=1}^{2f} \text{Re} \lambda_k + i \sum_{k=1}^{2f} \text{Im} \lambda_k < 0$$

$= 0$ (komplex konjugiert)

Nicht asymptotisch stabil, falls kein $\text{Re} \lambda_k > 0$

\Rightarrow nur $\text{Re} \lambda_k = 0$ erlaubt $\Rightarrow \lambda_k = \pm i\omega \Rightarrow$ Zentren

Für Hamiltonsche System folgt aus $\text{tr} \underline{A} = \text{div} \underline{F} = 0$ der Liouville'sche Satz der klassischen, statistischen Mechanik

Phasenraumvolumen V_t zur Zeit t :

$$V_t = \int_{U_t} d^{2f} x$$

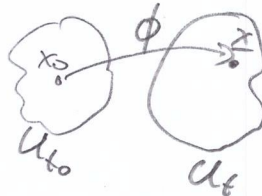
$$= \int_{U_{t_0}} d^{2f} x_0 \det D\phi_t(x_0)$$

$$= \int_{U_{t_0}} d^{2f} x_0 \left[1 + (t-t_0) \sum_{k=1}^{2f} \frac{\partial F_k}{\partial x_0^{(k)}} + \dots \right]$$

$\sum_{k=1}^{2f} \frac{\partial F_k}{\partial x_0^{(k)}} = \text{div} \underline{F}$

$$= V_{t_0} + (t-t_0) \int_{U_{t_0}} d^{2f} x_0 \text{div} \underline{F}|_{x_0} + \mathcal{O}((t-t_0)^2)$$

$$\dot{\underline{x}} = \underline{F}(\underline{x}), \quad \underline{A} = D\underline{F}|_{x^*}$$



$$\phi_t(x_0) = x(t)$$

$$D\phi_t(x_0) = \frac{\partial x^{(i)}(t)}{\partial x_0^{(j)}(t_0)}$$

$$\approx \frac{\partial x_0^{(i)}}{\partial x_0^{(j)}} + (t-t_0) \frac{\partial}{\partial t} \frac{\partial x^{(i)}(t)}{\partial x_0^{(j)}(t_0)}$$

für $\frac{\partial F_i}{\partial x_0^{(j)}}$

$$\Rightarrow \frac{d}{dt} V_t = \lim_{t \rightarrow t_0} \frac{V_t - V_{t_0}}{t - t_0} = \int_{U_{t_0}} d^{2f} x_0 \underbrace{(\text{div} \underline{F})}_{=0} = 0$$

Somit bleibt das Phasenraumvolumen erhalten!

Für **dissipative Systeme** gilt für kleine Volumina, die einen asymptotisch stabilen Fixpunkt x^* umschließen:

$$\frac{dV_t}{dt} \approx \int_{U_t} d^{2k} x_0 (\operatorname{div} \underline{F})_{x^*} = \lambda V_t \Rightarrow V(t) = e^{\lambda t} V_0$$

mit der Phasenraumkontraktionsrate $\lambda = \operatorname{div} \underline{F} = \operatorname{tr} \underline{A} = \sum_{k=1}^{2k} \operatorname{Re} \lambda_k < 0$

Def.: Dissipative Systeme sind solche, die Phasenraumvolumina kontrahieren.

Das **Langzeitverhalten** dissipativer Systeme wird durch **Attraktoren** bestimmt.

Bsp. für dissipatives System: Lorenz-Modell

(Edward Lorenz, J. Atmos. Science 20, 130 (1963))

$$\left. \begin{aligned} \dot{x} &= -\sigma x + \sigma y \\ \dot{y} &= -xz + r z - y \\ \dot{z} &= xy - bz \end{aligned} \right\} \begin{aligned} x=y=z=0 \text{ ist Fixpunkt} \\ \underline{DF} = \underline{A} = \begin{pmatrix} -\sigma & \sigma & 0 \\ -z & -1 & r-x \\ y & x & -b \end{pmatrix} \end{aligned} \quad \sigma, r, b > 0$$

$$\Rightarrow \lambda = \operatorname{tr} \underline{A} = -(\sigma + 1 + b) < 0$$

$$\Rightarrow V(t) = e^{-(\sigma+1+b)t} V_0 \xrightarrow{t \rightarrow \infty} 0$$

Def.: Sei \underline{F} ein Vektorfeld auf M (hier meist \mathbb{R}^n). Eine abgeschlossene, beschränkte Fluss Φ_t -invariante ($\Phi_t(A) \subseteq A$), unzerlegbare




Teilmenge $A \subset M$ heißt **Attraktor**, wenn

- (i) $A \subset U_0$ (offene Umgebung von A) existiert mit $\Phi_t(U_0) \subseteq U_0(t)$
- (ii) $\forall V$ mit $A \subset V \subset U_0$ existiert $T > 0$, sodass $\Phi_t(U_0) \subset V$ für $t \geq T$

(d.h. es gibt ein **Attraktorbecken** U_0 , aus dem der Fluss asymptotisch in den Attraktor (läuft)



Beispiele

Dimension n des Phasenraums	Attraktor	Attraktor- dimension	Bild
1	stabiler Fixpunkt	0	
2	stabiler Grenzzyklus	1	 periodischer Orbit
3	stabiler Torus	2	 quasi-periodisch (2 Frequenzen $\frac{\omega_1}{\omega_2} \notin \mathbb{Q}$)
≥ 3	Seltsamer Attraktor	$2 < d < 3$ fraktal	chaotisch

2. Bifurkationen

2.1 Eigenwert-Null-Bifurkation

2.2 Hopf-Bifurkation

2.3 Lokale Bifurkationen von Grenzzyklen

2.4 Globale Bifurkationen von Grenzzyklen

2.5 Bifurkationen von räuselnden Mustern

Frage: Abhängigkeit des Flusses (eines dynamischen Systems / Vektorfeldes) von einem Kontrollparameter μ ?

↳ Zahl & Art der Attraktoren kann sich schlagartig bei einem kritischen Wert μ_c ändern \Rightarrow Bifurkation am Bifurkationspunkt μ_c
 („Verzweigung“ der Lösungsmannigfaltigkeit)

Notwendige Voraussetzung: Nichtlinearität

Untersuchung mittels linearer Stabilitätsanalyse

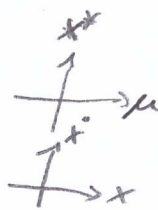
↳ z.B.: Stabilität der Fixpunkte (lokale Bifurkation)

2.1 Eigenwert-Null-Bifurkationen

Dreiklang: (a) Normalform $\dot{x} = f(x)$

(b) Bifurkationsdiagramm

(c) Phasenraumportrait



Idee der Eigenwert-Null-Bifurkationen:

$\lambda < 0$	\longrightarrow	$\lambda > 0$	bei μ_c
stabiler Fixpunkt	\longrightarrow	instabiler Fixpunkt	
$\det A > 0$ (knoten)	\longrightarrow	$\det A < 0$ (Sattelpunkt)	

(i) Sattel-Knoten-Bifurkation

Normalform: $\dot{x} = \mu - x^2$

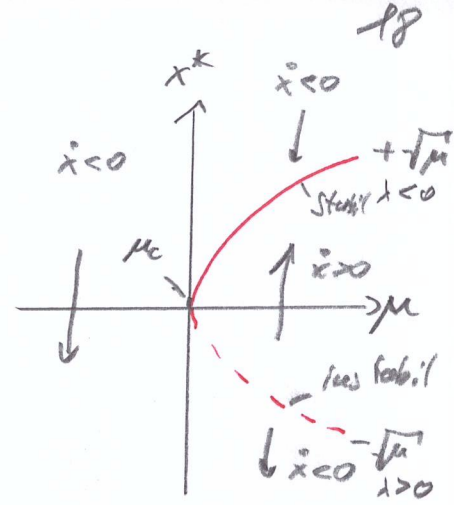
\Rightarrow FP: $x^* = \pm\sqrt{\mu}$ (existiert nur für $\mu > 0$)

\Rightarrow $f(x) = x - x^2$: $f'(x) = -2x^*$

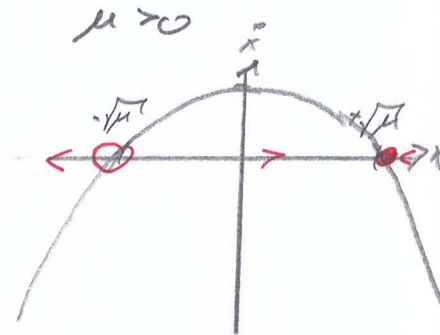
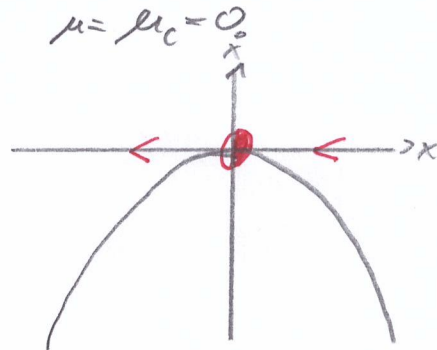
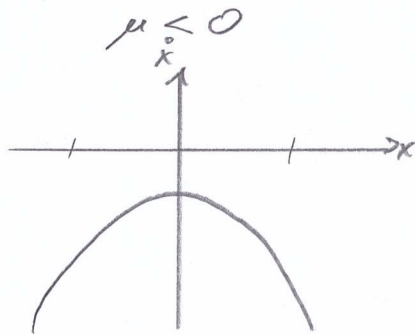
$(Df)_{x^*}$: hier 1×1

$\Rightarrow x^* = \begin{cases} +\sqrt{\mu} \\ -\sqrt{\mu} \end{cases}$ mit $\lambda = \begin{cases} -2\sqrt{\mu} < 0 : \text{stabil} \\ +2\sqrt{\mu} > 0 : \text{instabil} \end{cases}$

$\Rightarrow \lambda = 0$ bei $\mu_c = 0$ (Bifurkationspunkt)
Phasenraumportraits:



Bifurkationsdiagramm



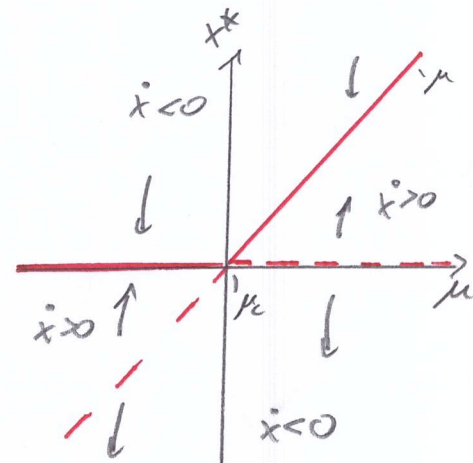
(ii) Transkritische Bifurkation:

Normalform: $\dot{x} = \mu x - x^2$

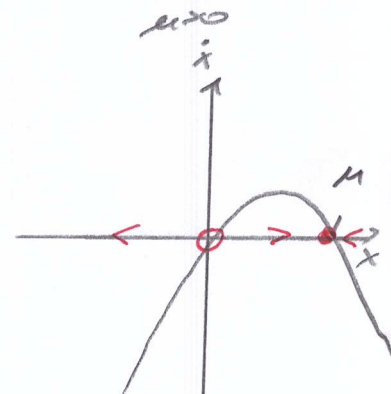
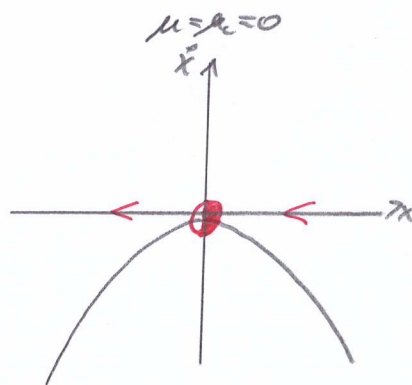
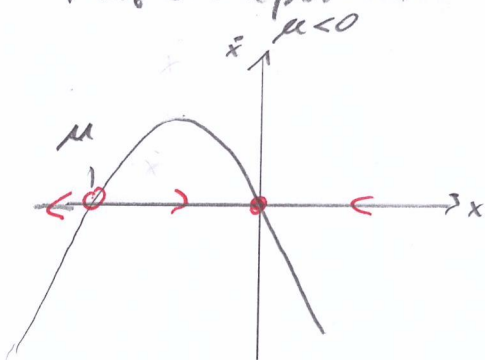
\Rightarrow FP: $x^* = \begin{cases} 0 \\ \mu \end{cases}$ mit $\lambda = \begin{cases} \mu \\ -\mu \end{cases}$

$f(x) = (\mu - 2x^*) dx$

\Rightarrow Stabilitätswechsel bei $\mu = \mu_c = 0$ ($\lambda = 0$)



Phasenraumportraits:

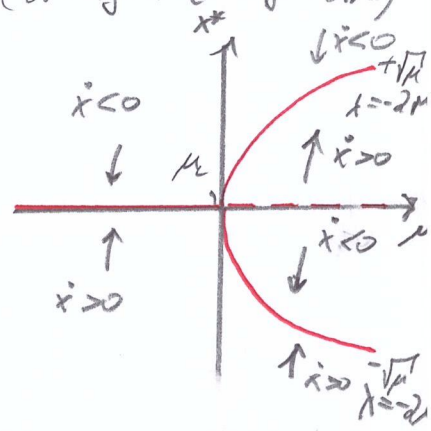


(iii) **superkritische Störumgebung-Bifurkation:** (Hergabel-Bifurkation) 79

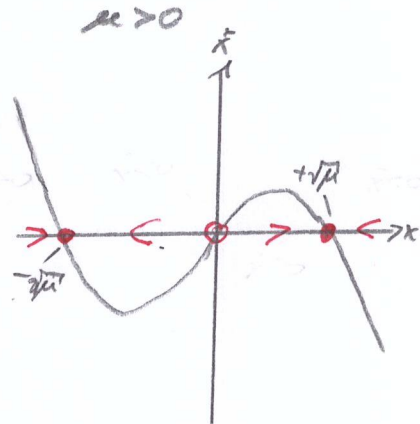
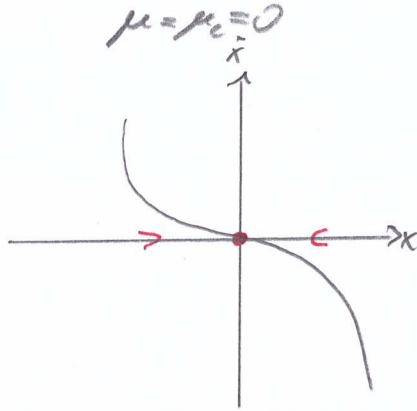
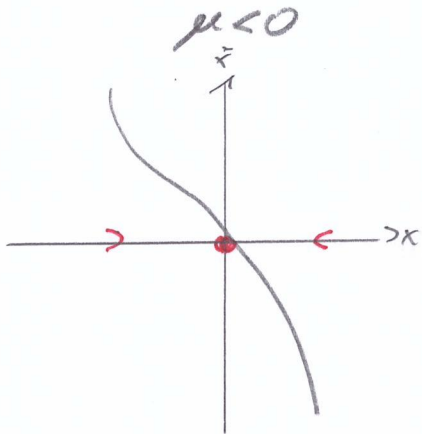
Normalform: $\dot{x} = \mu x - x^3 = x(\mu - x^2)$

\Rightarrow FP: $x^* = \begin{cases} 0 \\ \pm\sqrt{\mu} \end{cases}$ mit $\lambda = \begin{cases} \mu \\ -2\mu \text{ ex. für } \mu > 0 \end{cases}$

$$D\dot{x} = [\mu - 3(x^*)^2] dx$$



Phaseportraits:

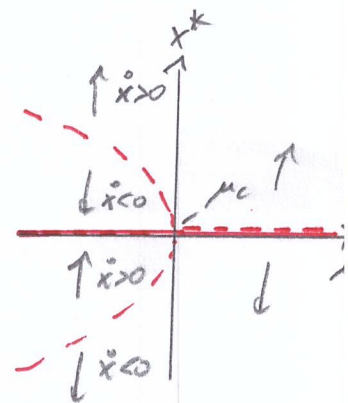


(iv) **subkritische Störumgebung-Bifurkation:**

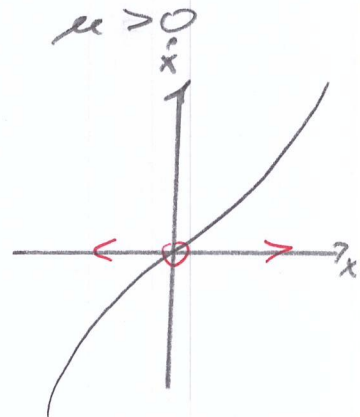
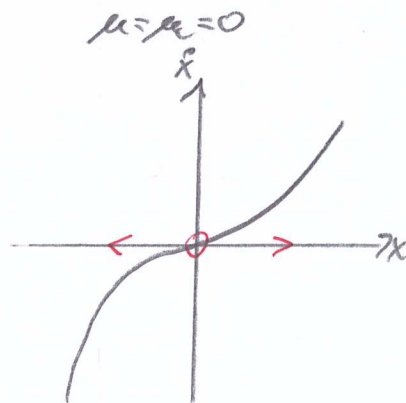
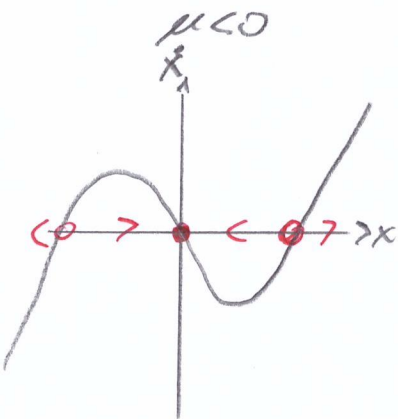
Normalform: $\dot{x} = \mu x + x^3$

\Rightarrow FP: $x^* = \begin{cases} 0 \\ \pm\sqrt{-\mu} \end{cases}$ mit $\lambda = \begin{cases} \mu \\ 2|\mu| \text{ ex. für } \mu < 0 \end{cases}$

$$D\dot{x} = [\mu + 3(x^*)^2] dx$$



Phaseportraits:



2.2 Hopf-Bifurkation

Idee: Fixpunkt ändert seine Stabilität und ein **Grenzzyklus** (periodischer Orbit) wird geboren

Normalform: $\dot{z} = \underbrace{(\lambda + i\omega)}_{\text{linear}} - \underbrace{(1 + i\gamma)|z|^2}_{\text{nicht linear}} z, z = x + iy \in \mathbb{C}$

in Real- und Imaginärteil: $|z| = \sqrt{x^2 + y^2}$

$$\dot{x} + i\dot{y} = [\lambda + i\omega - (1 + i\gamma)(x^2 + y^2)] (x + iy)$$

$$\Rightarrow \text{Re: } \dot{x} = \lambda x - \omega y - (x^2 + y^2)(x - \gamma y)$$

$$\text{Im: } \dot{y} = \omega x + \lambda y - (x^2 + y^2)(\gamma x + y)$$

} nicht sehr kompakt!

Fixpunkt: $x^* = y^* = 0 = z^*$

$\Rightarrow f \dot{z} = (\lambda + i\omega) z$, oder in Re/Im: $\begin{pmatrix} \dot{x} \\ \dot{y} \end{pmatrix} = \begin{pmatrix} \lambda & -\omega \\ \omega & \lambda \end{pmatrix} \begin{pmatrix} x \\ y \end{pmatrix}$

komplex konjugiert:

$$f \dot{\bar{z}} = (\lambda - i\omega) \bar{z}$$

\Rightarrow Eigenwerte: $(\lambda - 1)(\lambda - 1) + \omega^2 = \lambda^2 - 2\lambda + 1 + \omega^2 = 0$

$$\Rightarrow \lambda_{1,2} = \frac{2\lambda - 1 \pm \sqrt{4\lambda^2 - 4(\lambda^2 + \omega^2)}}{2} = \lambda \pm i\omega$$

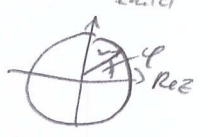
\Rightarrow FP: $z^* = 0$ $\begin{cases} \text{stabil für } \lambda < 0 \\ \text{instabil für } \lambda > 0 \end{cases}$

$\text{tr} A = 2\lambda, \det A = \lambda^2 + \omega^2$

$$\Delta = (\text{tr} A)^2 - 4 \det A = 4\lambda^2 - 4\lambda^2 - 4\omega^2 < 0$$

\Rightarrow stabilen ($\lambda > 0$) oder instabilen ($\lambda < 0$) Fokus

Transformation auf Amplitude r und Phase φ : $z(t) = r(t) e^{i\varphi(t)}$

$$\Rightarrow \dot{z} = \dot{r} e^{i\varphi} + i\dot{\varphi} r e^{i\varphi} = (\lambda + i\omega - (1 + i\gamma)r^2) r e^{i\varphi}$$


\Rightarrow Re: $\dot{r} = (\lambda - \gamma r^2) r \Rightarrow r^* = 0 \text{ oder } (\gamma r^2) = \lambda$

Im: $\dot{\varphi} r = (\omega - \gamma r^2) r \Rightarrow \dot{\varphi} = \omega - \gamma r^2 \Rightarrow \dot{\varphi}(t) = (\omega - \gamma r) t$

\Rightarrow Fixpunkt: $r = 0$

Grenzzyklus: $r = \pm \sqrt{\lambda/\gamma}, \varphi = (\omega - \gamma r) t \Rightarrow z(t) = \pm \sqrt{\lambda/\gamma} e^{i(\omega - \gamma r)t}$

Stuart-Landau-Oszillator

Period $T = \frac{2\pi}{\omega - \gamma r} \Rightarrow T(\lambda=0) = \frac{2\pi}{\omega}$

Lineare Stabilität des Grenzzyklus via Floquet-Theorie

$\dot{z} = f(z)$ mit periodischem Orbit $z^k(t) = z^k(t+T)$, T : Periode

$\Rightarrow \dot{z}(t) = Df|_{z^k(t)} \dot{z}(t)$ mit $Df|_{z^k(t)} = Df(t) = Df(t+T)$

Lineare Differentialgleichung mit periodischen Koeffizienten

\Rightarrow Lösung: $\dot{z}(t) = \sum_j c_j e^{\lambda_j t} u_j(t)$ mit $u_j(t) = u_j(t+T)$ (Floquet-Modi)

und λ_j s. Floquet-Exponent

$\Rightarrow \lambda u + \dot{u} = Df u$, $\dot{z}(t) = U(t) \dot{z}(0)$, $U(t)$: Fundamentalsystem

$\mu = e^{\lambda T}$: Eigenwerte von $U(T)$ Floquet-Multiplizität

analytische Lösung von r und φ :

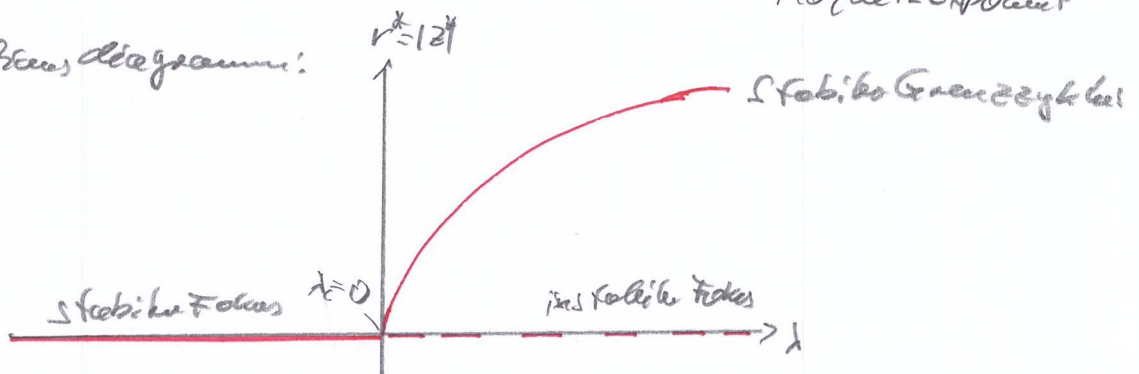
$$\begin{pmatrix} \dot{r} \\ \dot{\varphi} \end{pmatrix} = \begin{pmatrix} \lambda - 3r^2 & 0 \\ -2\lambda r & 0 \end{pmatrix} \begin{pmatrix} r \\ \varphi \end{pmatrix} = \underbrace{\begin{pmatrix} -2\lambda & 0 \\ -2\lambda r & 0 \end{pmatrix}}_{=A} \begin{pmatrix} r \\ \varphi \end{pmatrix}$$

\Rightarrow Eigenwerte von A (Floquet-Exponenten) $\lambda = 0$

$0 = (-2\lambda - 1)(-1) = 1^2 + 2\lambda 1 = \begin{cases} 0 \\ -2\lambda \end{cases}$

Goldstone-Mode
(Kombination entlang Orbit)
Stabil (transversal)
Floquet-Exponent

Bifurkationsdiagramm:



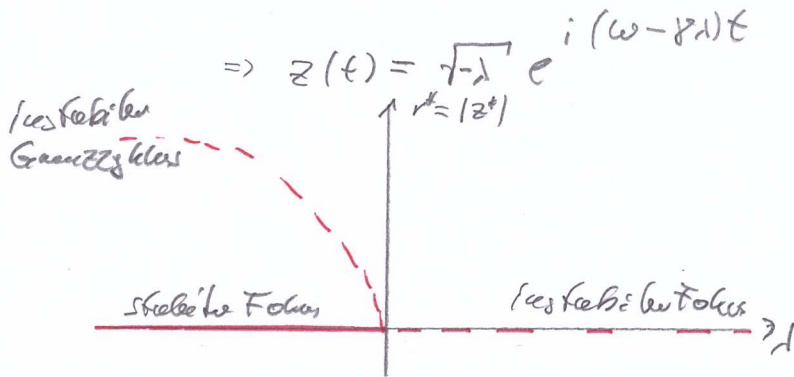
Superkritische Hopf-Bifurkation

Subkritische Hopf-Bifurkationen:

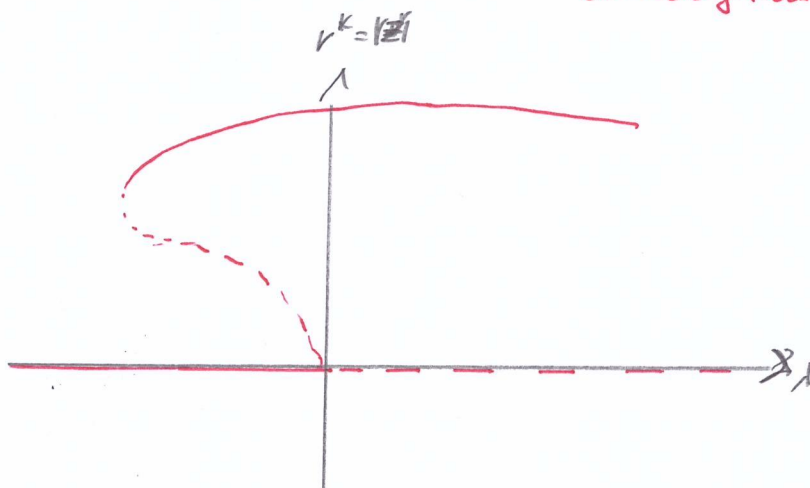
$$\dot{z} = (\lambda + i\omega + (1+i\gamma)/|z|^2) z$$

\Rightarrow FPs: $x^* = y^* = 0 = z^*$ stabil (A < 0) / instabil (A > 0) Fokus

LL: $\dot{r} = (\lambda + r^2) r \Rightarrow (r^*)^2 = -\lambda \Rightarrow r^* = |z^*| = \sqrt{-\lambda}, \lambda < 0$
 (limit cycle) $\dot{\varphi} = \omega + \gamma r^2$



häufig kombiniert mit einer Sattel-Knoten-Bifurkation eines Grenzzyklus



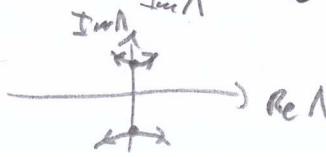
$$\dot{r} = \lambda r + r^3 - r^5$$

$$\dot{\varphi} = \omega + \gamma r^2$$

Kritische Hopf-Bifurkationen:

(i) Amplitude $\approx \sqrt{\lambda - \lambda_c}$

(ii) Periode: $T = \frac{2\pi}{\text{Im} \Lambda} = \frac{2\pi}{\omega}$, Frequenz $\omega \neq 0$ (evtl.!)

(iii) Eigenwerte:  Wechsel eines komplex konj. Paares in andere Halbebene. $\text{Re} \Lambda \geq 0$

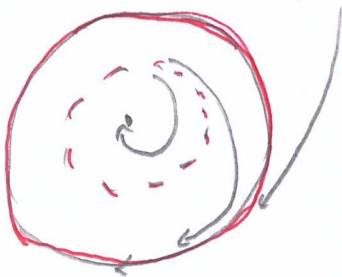
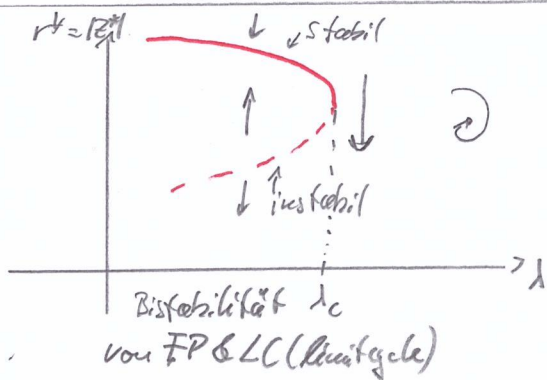
2.3 Lokale Bifurkationen von Grenzzyklen

1. Sattel-Knoten-Bifurkation (eines Grenzzyklus)
2. Perioden-Verdopplung
3. Sekundäre Hopf-Bifurkation (Sotclaw-Neimark)

Bisher: Fixpunkt verliert/ändert sich und ein Grenzzyklus wird geboren.

Jetzt: Grenzzyklus entsteht aus einem Grenzzyklus

2.3.1. Sattel-Knoten-Bifurkation (eines Grenzzyklus)



andere Namen:

- Kondensation von Pfaden
- **fold bifurcation of limit cycle**

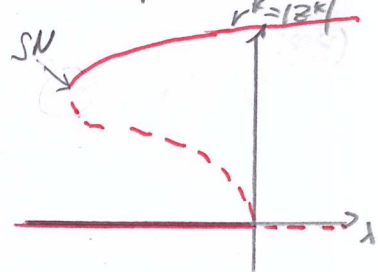
Merkmale:

- Amplitude bei $\lambda_c \neq 0$
- Frequenz bei $\lambda_c \neq 0$

Bsp: erweiterte subkritische Hopf-Bifurkation

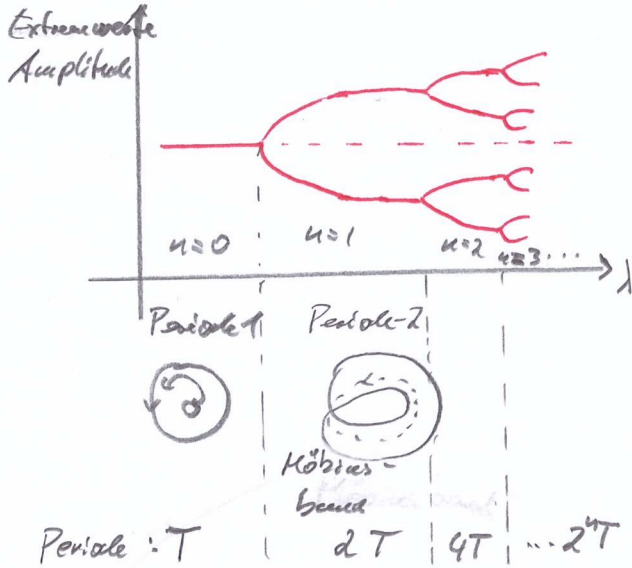
$$\begin{cases} \dot{r} = \lambda r + r^3 - r^5 \\ \dot{\varphi} = \omega + \gamma r^2 \end{cases}$$

$$z(t) = r(t) e^{i\varphi(t)}$$



2.3.2 Periodenverdopplung

24



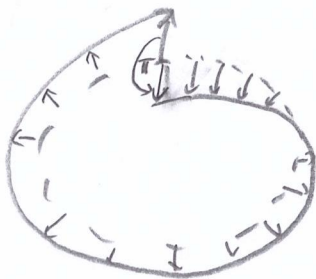
andere Namen:

- flip-Bifurkation
- subharmonische Bifurkation

Merkmale:

- wiederholtes 3D Phänomen
- Vorläufer von Chaos (\rightarrow Kap. 3)

\rightarrow phase slip von π nach einem Umlauf: **Torsion** benachbarter Trajektorien



$$\text{Floquet-Exponent: } \lambda = \lambda + i\omega$$

$$\text{am Bifurkationspunkt: } \lambda_c = 0 \Rightarrow \omega T = \pi$$

$$\Rightarrow \text{Floquet-Multiplikator } \mu = e^{\lambda T} = e^{i\pi} = -1$$

künftig: **Periodenverdopplungskaskade** ins Chaos (\rightarrow Feigenbaum-Szenario)

\hookrightarrow unendlich viele, instabile **periodische Orbits** der Perioden $2^n T$
($n=0, 1, 2, \dots$)



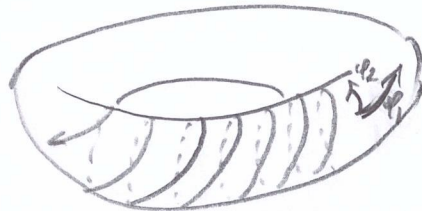
andere Namen:

- Neimark-Sacker-Bifurkation
- Torus-Bifurkation

Merkmale:

- in kontinuierlichen Frequenzen: $\frac{\omega_1}{\omega_2} \notin \mathbb{Q}$ (irrational!)

=> Trajektorie schneidet sich nicht, sondern läuft dicht auf dem Torus



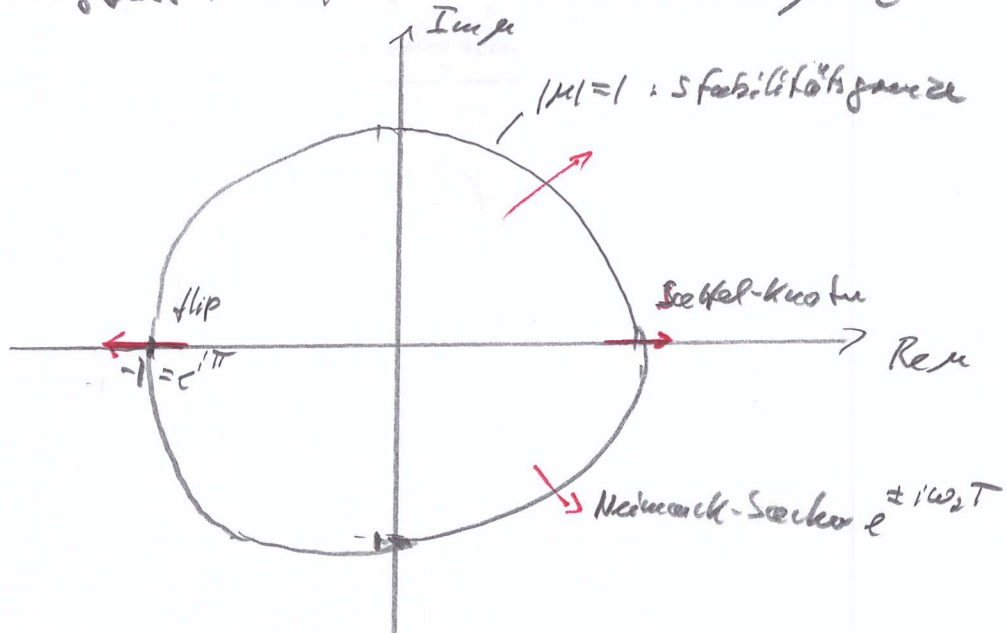
- Falls $\frac{\omega_1}{\omega_2} \in \mathbb{Q}$ => geschlossener Orbit und somit Grenzzyklus
-> frequency locking, Mode coupling

- alle Fälle zur Hopf-Bifurkation gibt es Sub- und superkritische Fälle

Subkritisch:



Zusammengefasst: Floquet-Multiplikatoren: $\mu = e^{i\omega T}$ 26



Poincaré-Abbildung (first-return map)

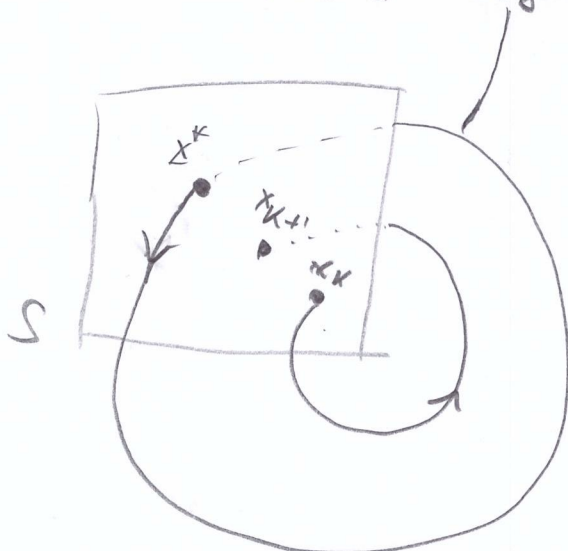
$\dot{x} = F(x)$ mit $x \in \mathbb{R}^n$ und S eine $(n-1)$ -dimensionaler Schnitt, derde der Fluss von F wiedererschließt.

Die Poincaré-Abbildung P bildet S auf sich selbst und $x_k \in S$ ist

der k -te Durchstoßpunkt: $x_{k+1} = P(x_k)$ (diskrete Abbildung!)

Bsp: (i) F hat einen Fixpunkt x^* : $P(x^*) = x^*$, falls x^* in S liegt.

(ii) F hat einen Grenzzyklus: Durchstoßpunkt $x^* = P(x^*)$



2.4. Globale Bifurkationen von Grenzzyklen

Jetzt: globale + qualitative Änderung des Phasenportraits

Bsp: Sattel + instabiler Fokus \rightarrow homokline Orbit



2.4.1 Homokline Bifurkationen (blue-sky catastrophe)



Sattel + Fokus

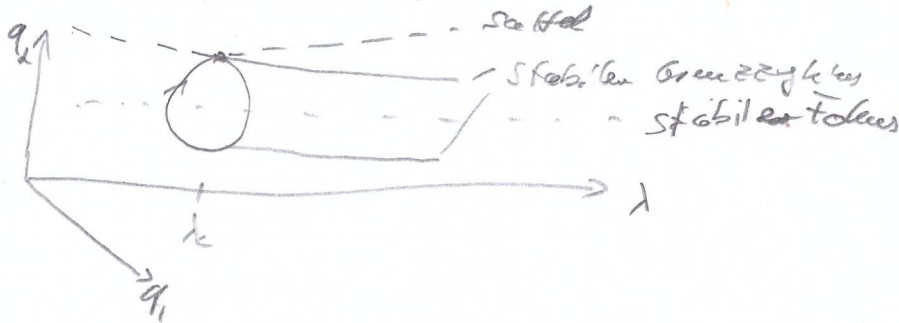
Sattel + homokline Orbit

Sattel + Fokus + Grenzzyklus

Idea: Sattelpunkt kollidiert mit Grenzzyklus

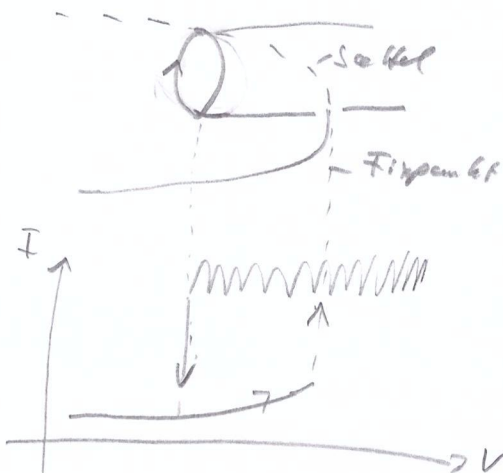
\Rightarrow homokline Orbit (Saddle-to-saddle loop)

Bifurkationsdiagramm (3D):



Bem: häufig kombiniert mit Bistabilität zwischen

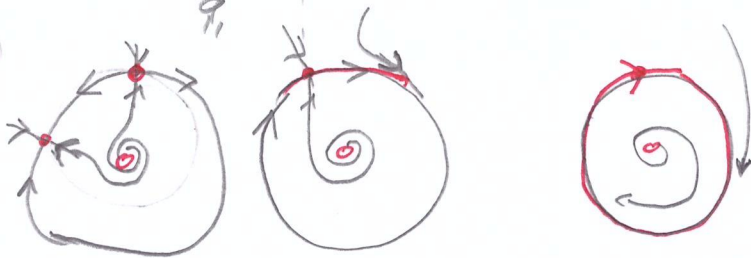
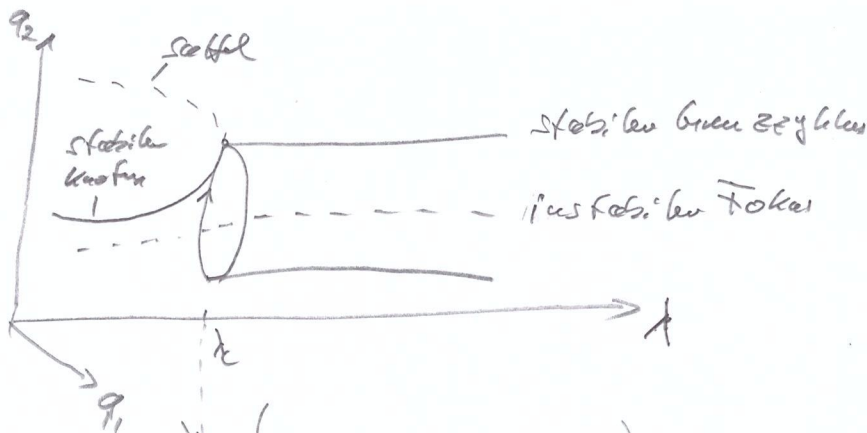
Oszillationen und Fixpunkt:



2.4.2. Sattel-Knoten - Bifurkationen eines Grenzzyklus

28

- Omega explosion
- Saddle-node in finite period (SNIPER) bifurcation
- Saddle-node on invariant cycle (SNIC) bifurcation



Idee: Sattel und Knoten kollidieren und einen Grenzzyklus erzeugen
↳ Stabile Mannigfaltigkeit des Sattel \cong Stabile Mannigfaltigkeit des Knoten

Kennzeichen: Amplitude bei $\mu \neq 0$

Frequenz bei $\mu \rightarrow 0$ (Periode $\rightarrow \infty$)

Einfaches gezeigtes Modell eines SNIPER-Bisferkaffens

Ditzinger, Nies, Hu, Phys. Rev. E 50, 3508 (1994)

Hu, Ditzinger, Hoken, Phys. Rev. Lett. 71, 87 (1993)

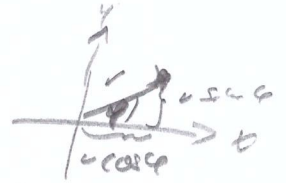
Benutzbarkeit: Typ I (Typ II: Kopf-Bisferkaffens)

Normalform / eine jede Gleichung:

$$\dot{x} = x(1-x^2-y^2) + y(x-b)$$

$$\dot{y} = y(1-x^2-y^2) - x(x-b)$$

in Polarkoordinaten: $x = r \cos \varphi$, $y = r \sin \varphi$



$$I: \dot{x} = \dot{r} \cos \varphi - r \dot{\varphi} \sin \varphi = r \cos \varphi (1 - r^2 (\cos^2 \varphi + \sin^2 \varphi)) + r \sin \varphi (r \cos \varphi - b)$$

$$II: \dot{y} = \dot{r} \sin \varphi + r \dot{\varphi} \cos \varphi = r \sin \varphi (1 - r^2 (\cos^2 \varphi + \sin^2 \varphi)) - r \cos \varphi (r \cos \varphi - b)$$

$$I' = I \cdot \cos \varphi: \dot{r} \cos^2 \varphi - r \dot{\varphi} \sin \varphi \cos \varphi = r \cos^2 \varphi (1 - r^2) + r \sin \varphi \cos \varphi (r \cos \varphi - b)$$

$$II' = II \cdot \sin \varphi: \dot{r} \sin^2 \varphi + r \dot{\varphi} \sin \varphi \cos \varphi = r \sin^2 \varphi (1 - r^2) - r \cos \varphi \sin \varphi (r \cos \varphi - b)$$

$$I' + II': \dot{r} (\cos^2 \varphi + \sin^2 \varphi) = r (\cos^2 \varphi + \sin^2 \varphi) (1 - r^2)$$

$$\Leftrightarrow \boxed{\dot{r} = r(1-r^2)}$$

$$I'' = I' \cdot \sin \varphi: \dot{r} \cos \varphi \sin \varphi - r \dot{\varphi} \sin^2 \varphi = r \cos \varphi \sin \varphi (1 - r^2) + r \sin^2 \varphi (r \cos \varphi - b)$$

$$II'' = II' \cdot \cos \varphi: \dot{r} \sin \varphi \cos \varphi + r \dot{\varphi} \cos^2 \varphi = r \sin \varphi \cos \varphi (1 - r^2) - r \cos^2 \varphi (r \cos \varphi - b)$$

$$II'' - I'': \dot{\varphi} (\cos^2 \varphi + \sin^2 \varphi) = -\dot{\varphi} (\cos^2 \varphi + \sin^2 \varphi) (r \cos \varphi - b)$$

$$\Leftrightarrow \boxed{\dot{\varphi} = b - r \cos \varphi}$$

lineare Stabilitätsanalyse:

$$\begin{pmatrix} \dot{r} \\ \dot{\varphi} \end{pmatrix} = \begin{pmatrix} 1-3r^2 & 0 \\ -\cos \varphi & r \sin \varphi \end{pmatrix}$$

Fixpunkte: $r=0: A = \begin{pmatrix} 1 & 0 \\ -\cos \varphi & 0 \end{pmatrix} \Rightarrow \text{tr} A = 1$
 $\text{det} A = 0$

Achtung: Phase φ bei $r=0$ undefiniert:

$$\Rightarrow \text{effektiver 1D: } \dot{r} = r(1-r^2) \Rightarrow \dot{r} = (1-3r^2)|_{r \neq 0} \cdot r$$

$$\text{mit } r \rightarrow 0: (1-3r^2)|_{r \neq 0} = 1 > 0 \Rightarrow \text{best. stab.}$$

$r^k = 1: \dot{r} = 0$

$\dot{\varphi} = b - r \cos \varphi \stackrel{!}{=} 0 \Rightarrow \varphi = \arccos b \quad (|b| < 1)$

$\cos \varphi^k = b \Rightarrow \cos^2 \varphi^k = 1 - \sin^2 \varphi^k = b^2 \Rightarrow \sin \varphi^k = \pm \sqrt{1 - b^2}$

FP in (x, y) -Koordinaten:

$x^k = r^k \cos \varphi^k = b$

$y^k = r^k \sin \varphi^k = \pm \sqrt{1 - b^2}$

existiert für $|b| < 1$
bei $b = 1$: Entstehung eines Grenzzyklus
 $y^k = 0$

Periode: $\frac{2\pi}{T}$ aus $\dot{\varphi}$ mit Trennung der Variablen:

$T = \int_0^{2\pi} dt = \int_0^{2\pi} \frac{1}{b - r \cos \varphi} d\varphi = \frac{2\pi}{\sqrt{b^2 - 1}}$ für $b > 1$

$\lim_{|b| \rightarrow 1} T = \infty$

Stabilität von

(i) $(x^k, y^k) = (b, +\sqrt{1 - b^2}) : A = \begin{pmatrix} -2 & 0 \\ -b & \sqrt{1 - b^2} \end{pmatrix}$

$\text{tr} A = -2 + \sqrt{1 - b^2} < 0 \Rightarrow$ Sattelpunkt: $\lambda = \begin{cases} -2 \\ \sqrt{1 - b^2} \end{cases}$

$(\det A = -2\sqrt{1 - b^2} < 0)$

(ii) $(x^k, y^k) = (b, -\sqrt{1 - b^2}) : A = \begin{pmatrix} -2 & 0 \\ -b & -\sqrt{1 - b^2} \end{pmatrix}$

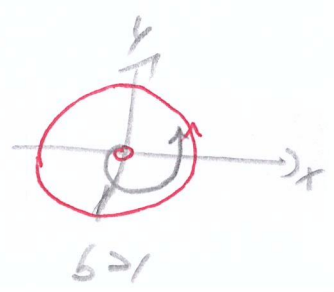
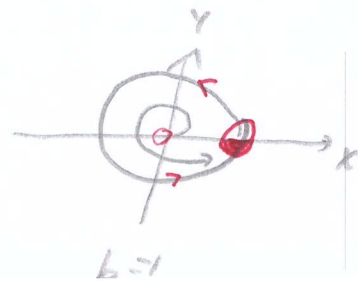
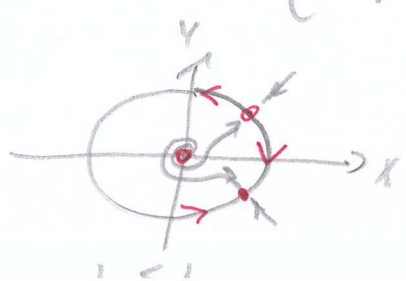
$\text{tr} A = -2 - \sqrt{1 - b^2} < 0$

$\det A = +2\sqrt{1 - b^2}$

$(\text{tr} A)^2 - 4 \det A = 4 + 4\sqrt{1 - b^2} + (1 - b^2) - 8\sqrt{1 - b^2} = 4 - 4\sqrt{1 - b^2} + (1 - b^2) > 0$

\Rightarrow Stabile Knoten

$\lambda = \begin{cases} -2 \\ -\sqrt{1 - b^2} \end{cases}$



2.5.2 stekende / laagfrequente Wellen

$$\lambda(k) = \pm i\omega \quad \text{bei } |k| = k_c \neq 0$$

Beobachtung: oszillierend, räumlich periodische Strukturen
werden zu Wellen $\propto e^{i(kx \pm \omega t)}$

$$\lambda(k) = \epsilon - b (k^2 - k_c^2)^2 \pm i\omega$$

Re λ vs. k wie oben bei 2.5.1

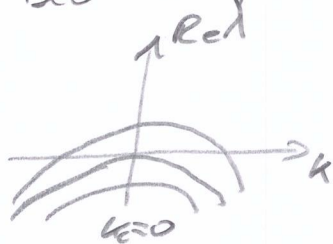


2.5.3 Kurz-Wellenlängen

$$\lambda(k) = \pm i\omega \quad \text{bei } |k| = k_c = 0$$

$$\lambda(k) = \epsilon - b (k^2)^2 \pm i\omega$$

Beobachtung: räumlich hochfrequent Green's zyklus



weiter dazu im Kapitel 4

3. Deterministisches Chaos

Deterministischer, aber ungeordnete Bewegung im Langzeitverhalten von Systemen mit $n \geq 3$ (autonom):

Seltene (chaotische) Attraktion

3.1 Klassifikationskriterien

3.2 Definitionen

3.3 Seltene Attraktionen

3.1 Klassifikationskriterien

Kriterien	quasi-periodisches Verhalten	deterministisches Chaos	stochastisches System (Rauschen)
Freiheitsgrade	wenige dynamische Freiheitsgrade, niedrig-dimensionale Phasenraum		viele mikroskopische Freiheitsgrade $f \approx 10^{23}$
Attraktiv	Torus T^d mit $d=2,3,\dots$	Seltene Attraktion mit fraktalen Dimensionen	Skalengesetz der Ensemble
Autokorrelationsfunktion $\langle x(t) \cdot x(t+\tau) \rangle$ $= \lim_{T \rightarrow \infty} \frac{1}{T} \int_{-T}^T x(t) \cdot x(t+\tau) dt$	periodisch in τ	$\langle x(t) \cdot x(t+\tau) \rangle \rightarrow 0$ $\tau \rightarrow \infty$	$\langle x(t) \cdot x(t+\tau) \rangle = 0$ für $\tau \geq \tau_c$ Korrelationszeit
Frequenzspektrum (spektrale Leistungsdichte, Power Spectrum) $S(\omega) = \frac{1}{2\pi} \int_{-\infty}^{\infty} \langle x(t) \cdot x(t+\tau) \rangle e^{i\omega\tau} d\tau$	diskrete Frequenzen $\omega_1, \omega_2, \dots$	breites Frequenzband	
Sensitives		i) Sensibilität gegenüber kleinen Störungen in den Anfangsbedingungen ii) typische universelle Bifurkationsdiagramme	

3.2 Definitionen

Def.: Eine Bewegung heißt **chaotisch**, wenn sie empfindlich von den Anfangsbedingungen abhängt.

⇒ qualitative Aussagen

Ziel: quantitative Formulierung der Stabilität gegenüber kleinen Veränderungen der Anfangsbedingungen

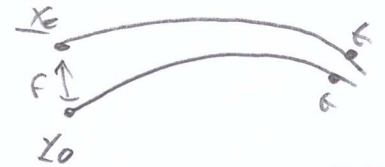
Bahnstabilität (**orbital stability**):



orbital stabil
alle benachbarten Bahnen bleiben in einem ϵ -Röhren um $\phi(t, x_0)$



asymptotisch stabil
Abstand $\epsilon \rightarrow 0$ für $t \rightarrow \infty$



Ljapunov asymptotisch stabil

$$|\phi(t, x_0) - \phi(t, y_0)| \xrightarrow{t \rightarrow \infty} 0$$

dasselbe!

Lin. Näherung in der Nähe der Lösungskurve $\phi(t, x_0)$:

$$\delta \dot{x}_i = \sum_{k=1}^n \frac{\partial F_i}{\partial x_k}(x(t), t) \delta x_k$$

$A_{ik}(t)$ mit Eigenwerten $\lambda_j(t)$ & Eigenvektoren $\xi_j^{(i)}(t)$

formale Lösung: $\delta x(t) = e^{\int_0^t A(t') dt'} \delta x(0)$

Zeitentwicklung einer infinitesimalen Kugel um x_0 :

↳ kleine Ellipsoid mit Hauptachsen $p_j(t) = p_j(0) e^{\lambda_j t}$

Def.: Stabilität ist bestimmt durch die **Ljapunov-Exponenten**

$$\lambda_j = \lim_{t \rightarrow \infty} \frac{1}{t} \ln \frac{p_j(t)}{p_j(0)}$$

Bem.: Fürwende (größter) Ljapunov-Exponent:

$$\lambda := \limsup_{t \rightarrow \infty} \frac{1}{t} \ln |\phi(t, x) - \phi(t, y)|$$

$$\Rightarrow |\phi(t, x_0) - \phi(t, y_0)| \approx e^{\lambda t}$$

$\lambda < 0$ kleine Abweichungen in den Anfangsbedingungen exponentiell gedämpft

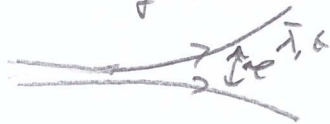
$\lambda > 0$ exponentielles Auseinanderlaufen benachbarter Bahnen

3.3 Selbstneue Attraktoren

chaotischer Attraktoren \mathbb{R}^3 : $\lambda_1 > 0$, $\lambda_2 = 0$, $\lambda_3 < 0$

instabile Bewegung
auf Attraktoren

Stabilität von allen
Attraktoren



Merkmale: • Unförmigkeit des \mathbb{R}^n

($\dot{x} = F(x)$, $x \in \mathbb{R}^n$) • Trajektorien liegen **dicht** beieinander: Zwischen 2 Trajektorien liegt (peristimmensweise) ein 3.

• Kleine Abweichungen verhalten sich exponentiell.

• auf lange Sicht / für lange Zeiten kommen sich 2 Trajektorien beliebig nahe.

• Dimension nicht ganzzahlig: **fraktale Dimension**

Quantitative Formulierung der fraktalen Dimension:

Daf: Sei $N(\epsilon)$ die Mindestzahl von n -dimensionalen Würfeln mit Seitenlänge ϵ , um eine (Punkt)Menge $A \subset \mathbb{R}^n$ zu überdecken.

$$\text{Dann heißt } d = \lim_{\epsilon \rightarrow 0} \frac{\ln N(\epsilon)}{\ln \frac{1}{\epsilon}}$$

die **fraktale (Hausdorff-) Dimension**. (box-counting dimension)

Bem.: aus $d = \lim_{\epsilon \rightarrow 0} \frac{\ln N(\epsilon)}{\ln \frac{1}{\epsilon}}$ folgt: $N(\epsilon) \sim \frac{1}{\epsilon^d}$

Bsp.: - Punkt: $N(\epsilon) = \text{const}$



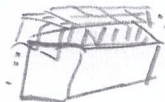
- Linie: $N(\epsilon) \sim \frac{1}{\epsilon}$



- Fläche: $N(\epsilon) \sim \frac{1}{\epsilon^2}$



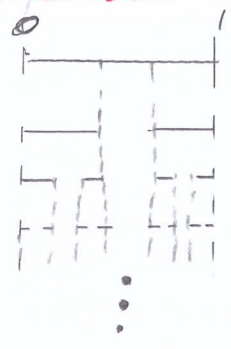
- Volumen: $N(\epsilon) \sim \frac{1}{\epsilon^3}$



- Chaotischer Attraktor in \mathbb{R}^3 :

Beobachtung: Volumen $V \rightarrow 0 \Rightarrow d < 3$, aber käufig $d > 2$
 ↳ Lorenz-Modell
 Rössler-Modell

- Cantor-Menge (selbstähnliche Struktur, Cantor set)






ϵ	$N(\epsilon)$
1	1
$\frac{1}{3}$	2
$\frac{1}{9}$	4
$\frac{1}{27}$	8
\vdots	\vdots
$\frac{1}{3^k}$	2^k

Diskussion (fractal):

$$d = \lim_{\epsilon \rightarrow 0} \frac{\ln N(\epsilon)}{\ln \frac{1}{\epsilon}} = \lim_{k \rightarrow \infty} \frac{\ln 2^k}{\ln 3^k} = \frac{\ln 2}{\ln 3} \approx 0.63$$

Zwischen Punkt und Linie

- Koch-Kurve (Koch snowflake)

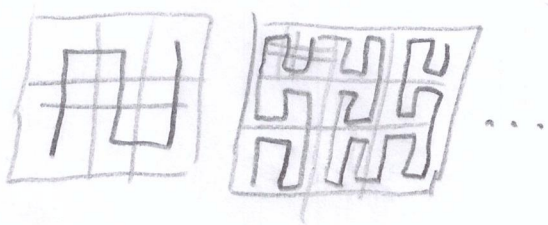
			...	
ϵ	1	$\frac{1}{3}$	$\frac{1}{9}$	$\frac{1}{3^k}$
N	1	4	16	4^k

$$d = \lim_{k \rightarrow \infty} \frac{\ln 4^k}{\ln 3^k} = \frac{\ln 4}{\ln 3} \approx 1.26$$

Zwischen Linie und Fläche

- aus der Natur: Meeresküste

- Achtung: Peano-Kurve (raumfüllende Kurve)



F.A.S.S.: space-filling, self-avoiding, simple, self-similar

Bsp. :- Lorenz-Modelle:

$$\begin{aligned}\dot{x} &= a y - a x \\ \dot{y} &= b x - x z - y \\ \dot{z} &= x y - c z\end{aligned}$$

typische Parameter für Chaos:

$$a=10, b=28, c=\frac{8}{3}$$

Merkmale: "double scroll"

- Rössler - Attraktor

$$\begin{aligned}\dot{x} &= -y - z \\ \dot{y} &= x + a y \\ \dot{z} &= b + x z - c z\end{aligned}$$

typische Parameter für Chaos:

$$a=0.2, b=0.2, c=5.7$$

Fixed points:

$$\begin{aligned}x_{1,2}^* &= \frac{c \pm \sqrt{c^2 - 4ab}}{2} \\ y_{1,2}^* = -z_{1,2}^* &= \frac{-c \mp \sqrt{c^2 - 4ab}}{2a}\end{aligned}$$

$$\dot{x}=0 \Rightarrow y^* = -z^*$$

$$\dot{y}=0 \Rightarrow x^* = a y^* = -a z^*$$

$$\dot{z}=0 \Rightarrow 0 = b + a z^{*2} - c z^* \Rightarrow z^{*2} - \frac{c}{a} z^* + \frac{b}{a} = 0$$

$$\Rightarrow z^* = \frac{1}{2} \frac{c}{a} \pm \sqrt{\frac{c^2}{4a^2} + \frac{b}{a}} = \frac{c \pm \sqrt{c^2 - 4ba}}{2a}$$

$$\Rightarrow y^* = -\frac{c \pm \sqrt{c^2 - 4ba}}{2a}$$

$$\Rightarrow x^* = \frac{c \pm \sqrt{c^2 - 4ba}}{2}$$

Jacobi-Matrix:

$$A = \begin{pmatrix} 0 & -1 & -1 \\ 1 & a & 0 \\ z^* & 0 & x^* - c \end{pmatrix} \Rightarrow \text{Polynom 3. Grad für Eigenwerte:}$$

$$-\lambda^3 + \lambda^2(a+x-c) - \lambda(ac - ax - 1 - z) + x - c + az = 0$$

Eigenwerte: $\left. \begin{aligned} \lambda_1 &= 0.097103 + i 0.995786 \\ \lambda_2 &= 0.097103 - i 0.995786 \\ \lambda_3 &= -5.68719 \end{aligned} \right\} \text{IP: nahe Ursprung}$

\Rightarrow Inkomplex?

2. IP: $\left. \begin{aligned} \lambda_1 &= -0.000096 + i 1.62859 \\ \lambda_2 &= -0.000096 - i 1.62859 \end{aligned} \right\}$

Kriterien für Chaos:

- sensitive Abhängigkeit gegenüber Anfangsbedingungen
- lokale Instabilität (positive Lyapunov-Exponenten) bei gleichzeitiger globaler Begrenztheit (seltsamer Attraktor)
- Nichtlinearitäten (lineare Systeme mit lokaler Instabilität sind nicht begrenzt.)
- minimale Dimension $= 3$ (cf. Überschneidung von Trajektorien in \mathbb{R}^2 -System verboten)

- Wiederkehrende Trajektorien

$$\forall \epsilon > 0 \exists T_\epsilon > 0 : \forall t \geq 0 \exists T(t, \epsilon) : \dots$$

$$0 < T(t, \epsilon) < T_\epsilon \wedge |x(t+T(t, \epsilon)) - x(t)| < \epsilon.$$

(lokal instabile Trajektorien kommen sich auf lange Zeiten beliebig nah.)

=> Ansatzpunkt für Kontrollmethoden an chaotischen Systemen:

(i) kleine Änderung \Rightarrow große Wirkung
 (Kontrollereingriff) (Veränderung der Stabilität)

(ii) Wenn die Trajektorie jeden Punkt des Attraktors beliebig nah kommt, braucht man nur Geduld, um automatisch / von selbst in der Nähe des Zielzustands zu landen und diesen dann mit kleinen Kontrolleingriffen zu erreichen.

3.4.1 OBY-Kontrolle

3.4.2 Zeitverzögerte Rückkopplung

3.4.1 OGY-Kontrolle

OGY steht für Edward Ott } damals (1990)
 Celso Grebogi }
 James Yorke } University of Maryland

→ OGY: Controlling Chaos, Phys. Rev. Lett. 64, 1196 (1990)

Was soll kontrolliert/stabilisiert werden?

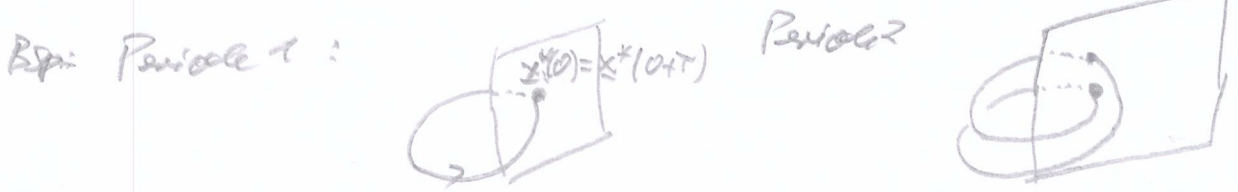
↳ Chaotischer Attraktor enthält ∞ viele periodische Orbits

↳ Ziel: Stabilisierung eines instabilen periodischen Orbits

Idea: (i) Überführung von $\dot{x} = F(x, u)$ mit Kontrollsignal u in eine diskrete Abbildung mittels Poincaré-Schnitten.

(ii) Kontrolle wirkt nur dann, wenn die Trajektorie in der Nähe des Zielzustands ist.

Poincaré-Schnitt: Definiere Fläche $S = \{x : S(x) = 0\}$ mit $x^*(0) \in S$ und $S'(x)$ so spermt, dass S senkrecht zu $x^*(t)$ ist.



Poincaré-Abbildung: $x \rightarrow P(x, u)$ mit $P(x, u)$ als 1. Wiederschneitpunkt auf Fläche S (Durchstoßpunkt)

⇒ Folge von Punkten $x_{k+1} = P(x_k, u)$ mit $x_k = x(t_k)$ und t_k Zeit des k -ten Durchstoßpunktes von S und $u_k = u(t)$ konstant für $t \in [t_k, t_{k+1}]$.

Damit kann man die Dgl. $\dot{x} = F(x, u)$ durch eine diskrete

Abbildung ersetzen: $\tilde{x}_{k+1} = P(\tilde{x}_k, u_k)$ mit $\tilde{x}_k = x_k - x^*$
 (Abbildung vom Zieldurchstoßpunkt)

OGY-Kontrolle mittels: $u_k = \begin{cases} c \tilde{x}_k & , \text{ wenn } |\tilde{x}_k| \leq \Delta \\ 0 & \text{sonst} \end{cases}$

=> Ein Kontrollziel wird erreicht, wenn Trajektorie in der Nähe von x^* ist.

- Nachteile:
- evtl. Wartezeiten
 - Kenntnis von x^* nötig
 - häufig keine vollständige Kenntnis des Systems möglich GG (Poincaré-Schnitt ggf. um möglich)

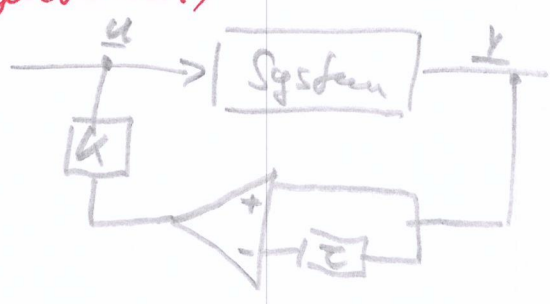
3.6.2 Zeitverzögerte Rückkopplung

Referenz: Krasovits Pyragas: Continuous control of chaos by self-controlled feedback, Phys. Lett A 170, 421 (1992)

Idee: Verwende statt Zielzustand x^* eine zeitverzögerte Version des Outputs/Ausgangs: $y(t) = y(t-\tau)$

=> Pyragas-Kontrolle: $\dot{x} = \underline{F}(x) + \underline{K} [y(t) - y(t-\tau)]$
 (time-delayed feedback)

Schemm:




\uparrow
 $= g(x(t))$, e falls $y(t) = x(t)$
 closed loop
 (Selbst-) Regelung
 (vgl. open loop = Steuerung)

- Vorteil:
- keine Kenntnis des Zielzustands nötig
 - Nicht bei vers: verschiedene Kontrolle bei erfolgreicher Stabilisierung

Bsp.: (i) Stabilisierung eines instabilen periodischen Orbits mit Periode T :

↳ Wahl von $\tau = T$: $x(t) = x(t - \tau)$ und somit verbleibendes Kontrollglied $u(t)$.

(ii) Stabilisierung von Fixpunkt (Fokus) 

↳ Zeitskala: $\frac{2\pi}{\text{Im}(\lambda)}$

Kontrollparameter: τ : *Zeitverzögerung*

K : *Rückkopplungsmatrix*

K einfach: $K = k \mathbb{1}$
↑ Skalar ↑ Einheitsmatrix

Bsp.: Rössler-System: chaotisch für $a = 0.2 > 0$, $c = 6.5$ (siehe S. 7)

$$\dot{x}(t) = -y(t) - z(t) - k [x(t) - x(t - \tau)]$$

$$\dot{y}(t) = x(t) + ay(t)$$

$$\dot{z}(t) = b + z(t) [x(t) - c]$$

• Periode-1-Orbit: $T_1 = 5.91679...$

• Periode-2-Orbit: $T_2 = 11.82814...$

Stabilisierung von Periode-1-Orbit für $0.26 < k < 2.3$

Referenz: A. Balaev, N. Janson, E. Schöll, Phys Rev E 71, 016222 (2005)

4. Strukturbildung & Muster

42

4.1 Einföhrung

4.2 komplexe Grenzberg-Landau-Gleichung

4.3 Bifurkationen räumlicher Muster

4.4 Reaktion-Diffusionssysteme

4.1 Einföhrung:

Muster (patterns) finden sich überall

- Bsp.:
- Vegetationsdynamik
 - Vogelschwärme / Insekten
 - Fische schalen
 - Anregungswerte
 - Physische polygraphische Zelle
 - Landau-Struktur
 - Konvektionsmuster
 - Rayleigh-Bernard-Zellen
 - Taylor-Couette-Strömung
 - Marangoni-Effekt

1) Was versteht Chat GPT dazu?

2) a) Sucht selbst ein Thema (Beratung und Konzentration der Frage mit "pattern formation".

b) Kurz zusammen fassen (wichtigen Punkte, Begriffe, Abbildungen)

Vergleiche: Meixner et al. PRE 55, 6630 (1997)

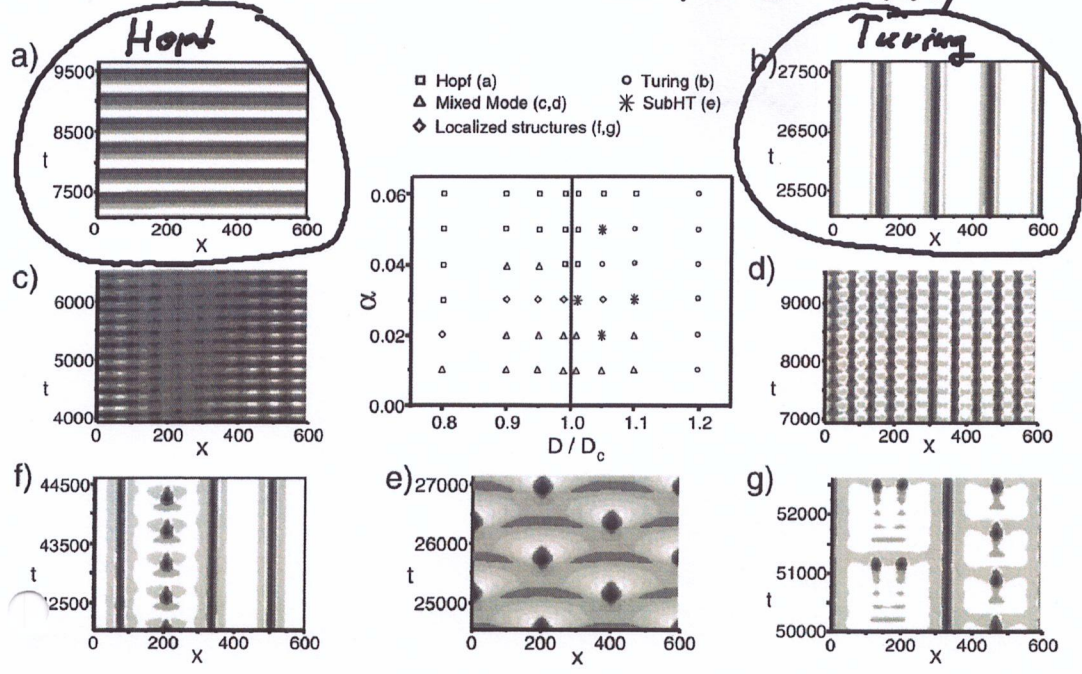


FIG. 5. Regimes of different asymptotic spatiotemporal behavior near the CTHP bifurcation given by the line $D/D_c=1$. The symbols in the $(\alpha, D/D_c)$ control parameter space denote various types of space-time patterns which are illustrated by typical space-time plots of $j(x,t)$ as insets: (a) Hopf oscillations (squares), (b) Turing patterns (dots), (c) and (d) Turing-Hopf mixed modes (triangles), (e) subharmonic Turing-Hopf mode consisting of spatiotemporal spiking (asterisks), and (f) and (g) localized Turing-Hopf structures (diamonds). (For parameters, see Table I.)

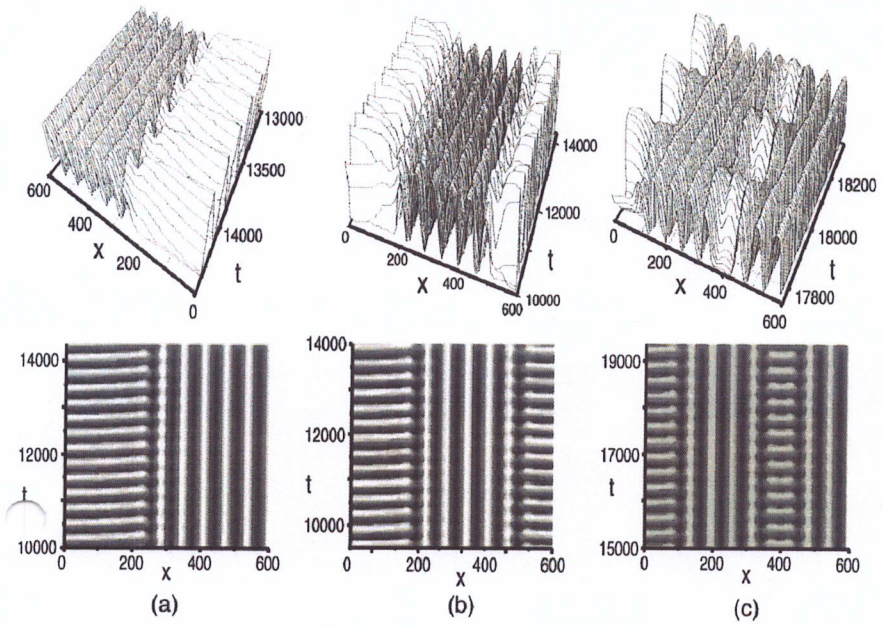


FIG. 6. Localized structures near the CTHP C_2 for $T=0.05$, $\alpha=0.02$, $D=8$ (corresponding to $D/D_c=0.67$), $j_0=3.1$, and different initial conditions: (a) Turing-Hopf front. (b) Turing domain embedded between two Hopf states. (c) Localized Turing-Hopf structures. The current density $j(x,t)$ is shown as a density plot and as a three-dimensional representation.

4.2. Komplex Struktur - Lenzsche Gleichung

44

- Stuart-Lenzsche-Oszillator (Kopf-Kreislauf)

$$\dot{z} = (1 + i\omega \mp (1 + i\gamma) |z|^2) z \quad \omega(x, t)$$

- harmonischer Oszillator mit Dämpfung: $\frac{\partial W}{\partial t} = i\omega_0 W + D \frac{\partial^2 W}{\partial x^2}$

Ausatz: $W(x, t) = \sum_{n=-\infty}^{\infty} W_n(t) \exp\left[i \frac{2\pi n x}{L}\right]$ (Fourier-Reihe)

$\frac{2\pi n}{L}$: Wellenzahl

⇒ Amplitude der n-ten Mode:

$$\frac{\partial W_n(t)}{\partial t} = i\omega_0 W_n(t) - \left(\frac{2\pi n}{L}\right)^2 D W_n(t)$$

↳ Lösung: $W_n(t) = W_n(0) \underbrace{\exp\left[-\left(\frac{2\pi n}{L}\right)^2 D t\right]}_{\text{Dämpfung aller Moden } n \neq 0} \exp\left[i \underbrace{\left(\omega_0 - \left(\frac{2\pi n}{L}\right)^2 D\right)}_{\omega_n} t\right]$

Dämpfung aller Moden $n \neq 0$

⇒ nur harmonische Mode ($n=0$) überlebt

- Stuart-Lenzsche + Diffusion:

$$\partial_t W = \mu(\nu_r + i\nu_i) W - \underbrace{(\gamma_r + i\gamma_i) |W|^2 W}_{\text{Vermeidung des Chaos}} + (d_r + id_i) \partial_x^2 W$$

Vermeidung des Chaos

für klein $|W|$: Amplituden

⇒ Lösung: $W_n(t) = W_n(0) \exp\left[\left(\mu\nu_i - \left(\frac{2\pi n}{L}\right)^2 d_i\right) t\right] \exp\left[i \omega_n t\right]$

$\omega_n = \left(\frac{2\pi n}{L}\right)^2 d_r$

Achtung! Extdämpfung für $\mu\nu_i - \left(\frac{2\pi n}{L}\right)^2 d_i > 0$

etwa L groß genug ⇒ instabile Moden!

Transformiere: $t \rightarrow \frac{t}{\mu\nu_i}$, $x \rightarrow \left(\frac{d_r}{\mu\nu_i}\right)^{\frac{1}{2}} x$

$$W \rightarrow \left(\frac{\mu\nu_i}{\gamma_r}\right)^{\frac{1}{2}} \exp\left(i\omega_0 \frac{t}{\nu_i}\right) W, \quad C_1 = \frac{d_i}{d_r}, \quad C_2 = \frac{\gamma_i}{\gamma_r}$$

$$\frac{\partial}{\partial t} W = W - (1 + i c_2) |w|^2 W + (1 + i c_1) \frac{\partial^2}{\partial x^2} W$$

Komplexe Ginzburg-Landau-Gleichung

lösung: $W_Q = a_Q \exp[i(\omega_Q t + Qx)]$ Q : Wellenzahl

$$\Rightarrow i \omega_Q W = W - (1 + i c_2) |a_Q|^2 W + (1 + i c_1) (-Q^2) W$$

Re: $0 = 1 - |a_Q|^2 - Q^2 \Rightarrow |a_Q|^2 = 1 - Q^2$

Im: $\omega_Q = -c_2 |a_Q|^2 - c_1 Q^2$
 $= -c_2 (1 - Q^2) - c_1 Q^2$
 $= -c_2 + (c_2 - c_1) Q^2$

Uniform/komplex Oszillations ($Q=0$): $|a_0|=1, \omega_0 = -c_2$

Check Stabilität: kleine Störung: $W \approx [1 + w(x,t)] \exp(i \omega_0 t)$

$$\partial_t w = -(1 + i c_2) (w + w^*) + (1 + i c_1) \partial_x^2 w$$

$$\partial_t w_Q = -(1 + i c_2) (w_Q + w_Q^*) + (1 + i c_1) Q^2 w_Q \text{ mit } Q = \frac{2\pi x}{L}$$

\Rightarrow
 \uparrow
 linear ODE

$$\partial_t w_Q^* = -(1 - i c_2) (w_Q + w_Q^*) + (1 - i c_1) Q^2 w_Q^*$$

$$\Rightarrow \frac{\partial}{\partial t} \begin{pmatrix} w_Q \\ w_Q^* \end{pmatrix} = \begin{pmatrix} -(1 + i c_2) - (1 + i c_1) Q^2 & -(1 + i c_2) \\ -(1 - i c_2) & -(1 - i c_1) - (1 - i c_1) Q^2 \end{pmatrix} \begin{pmatrix} w_Q \\ w_Q^* \end{pmatrix}$$

$$\Rightarrow \text{Eigenwerte: } \lambda_{\pm}^{(Q)} = -(1 + Q^2) \left\{ 1 \pm \sqrt{1 - \frac{Q^2 [(1 + c_1)^2 Q^2 + 2(1 + c_1 c_2)]}{(1 + Q^2)}} \right\}$$

Ins Stabilität für $|1 + c_1, c_2| < 0$ Benjamin-Few-Gleichung

Band von Stabilitätsknoten: $0 < |Q| < \sqrt{\frac{2|1 + c_1 c_2|}{1 + c_1^2}}$

• Hinweise / Tipps zur Nachbereitung / Vorbereitung:

- ↳ Benjamins - Fein - Transfektivität
- ↳ Amplicon - / Phagen - Gleichung
- ↳ Kurs für die CGLE
- ↳ mikrofluidisches Bezugssystem
- ↳ Transformation $x \rightarrow x - vt$
- ↳ Eigenwerte nachvollziehen

4.2 Komplexe Ginzburg-Landau-Gleichung (continued)

47

$$\frac{\partial}{\partial t} W(x,t) = W(x,t) - (1+iC_2) |W(x,t)|^2 W(x,t) + (1+iC_1) \frac{\partial^2}{\partial x^2} W(x,t)$$

$W \in \mathbb{C}$ mit zeitlicher und räumlicher Abhängigkeit

Lösungsansatz (ebene Wellen) $W_Q(x,t) = a_Q \exp[i(\omega_Q t + Qx)]$
mit Wellenzahl Q

$$\Rightarrow |a_Q|^2 = 1 - Q^2 \quad \text{und} \quad \omega_Q = -C_2 + (C_2 - C_1) Q^2$$

Spezialfall: unform/homogen Oszillationsum ($Q=0$): $|a_0|=1$, $\omega_0 = -C_2$

Instabilität für $1 + C_1 C_2 < 0$ *Benjamin-Feir-Linie*

Band von stabilen Moden: $0 < |Q| < \sqrt{\frac{2|1 + C_1 C_2|}{1 + C_2^2}}$

Reelle Ginzburg-Landau-Gleichung: $\frac{\partial W}{\partial t} = \frac{\partial^2 W}{\partial x^2} + W - |W|^2 W$
($C_1 = 0 = C_2$)

Spiegelsymmetrie: $W(x,t) = W(-x,t)$

$$\frac{\partial}{\partial x} \mapsto \frac{\partial}{\partial(-x)} = -\frac{\partial}{\partial x}, \quad \frac{\partial^2}{\partial x^2} \mapsto \frac{\partial^2}{\partial x^2}$$

oder auch $W(x,t) \mapsto W(x,t) e^{i\phi}$ (Symmetrie)

~~$$\frac{\partial W}{\partial t} e^{i\phi} = \frac{\partial^2 W}{\partial x^2} e^{i\phi} + W e^{i\phi} - |W|^2 e^{i\phi} W e^{i\phi}$$~~

Stationäre Lösung: $W(x,t) = a_0 e^{iQx}$ mit $Q^2 = 1 - a_0^2$

$$\omega_0 = -C_2 + (C_2 - C_1) Q^2$$

Einschreiben liefert: $\frac{\partial W}{\partial t} = 0 = \underbrace{\frac{\partial^2}{\partial x^2} W}_{-Q^2 W} + W - |a_0|^2 W = 0$

Benjamin-Feir - Instabilität: $1 + C_1 C_2 < 0$

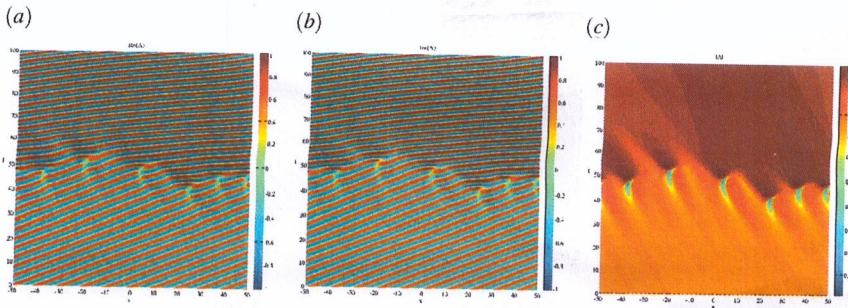


Fig. 5.2 Space-time plots of (a) $\text{Re}(A)$, (b) $\text{Im}(A)$ and (c) $|A|$ in the case of the Benjamin-Feir instability.

Bei "falscher" Wellenzahl (Ω zu groß) ist das Muster instabil und das System geht in eine ebene Welle mit kleinerem Ω (größere Wellenlänge) über. Am Übergang kommt es zu Defekten (Phasensingularitäten) mit $|W| = 0$

Fall: $1 + C_1 C_2 \leq 0$ Schwach instabil: $|W| \approx 1$

Phasenvariable: $\tan \phi = \frac{\text{Im } W}{\text{Re } W}$

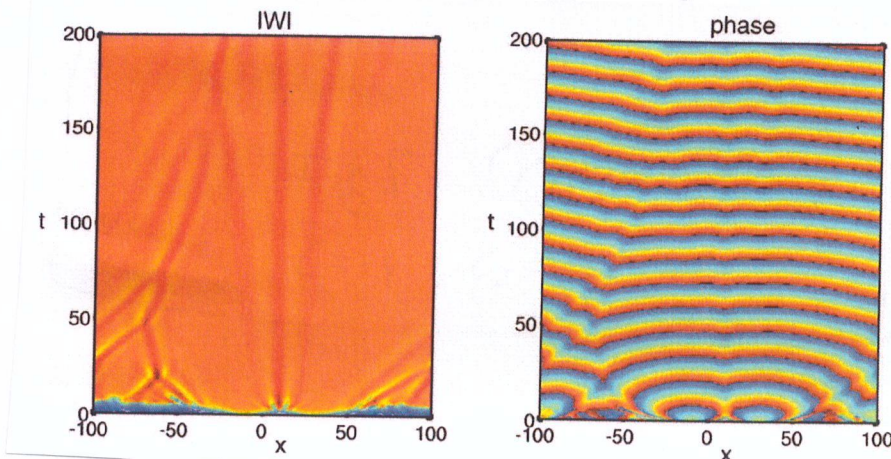
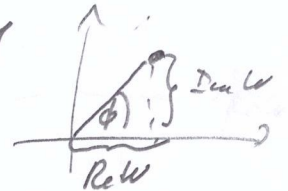
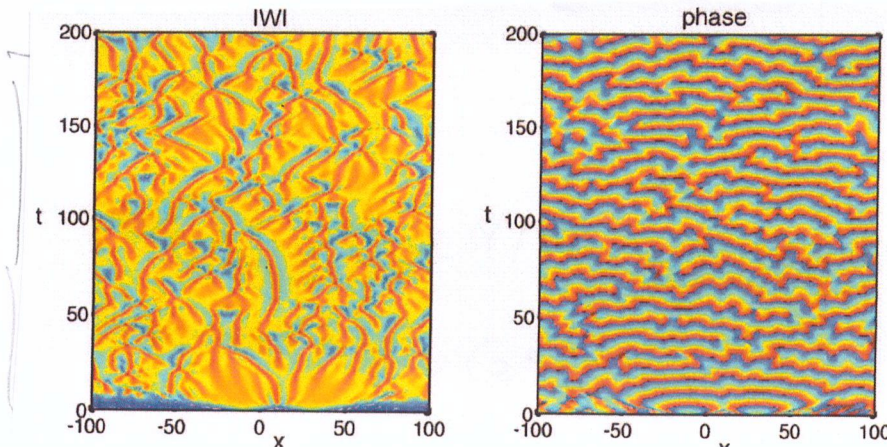


Fig 5
 $C_1 = -4$
 $C_2 = 0.5$
 v. Gouveia-Mendes
 u. Kuechen
 Contemporary Physics
 S1, 79 (2012)

Defekt: bei x_0
 $\lim_{x \rightarrow x_0^*} \frac{\text{Im } W(x,t)}{\text{Re } W(x,t)}$ $\neq \lim_{x \rightarrow x_0} \frac{\text{Im } W(x,t)}{\text{Re } W(x,t)}$
 ↑
 von rechts von links



$C_1 = -4$
 $C_2 = 1$
 Fig 6

Reine zeitliches Chaos: $c_1 = 0, c_2 = -3$

99

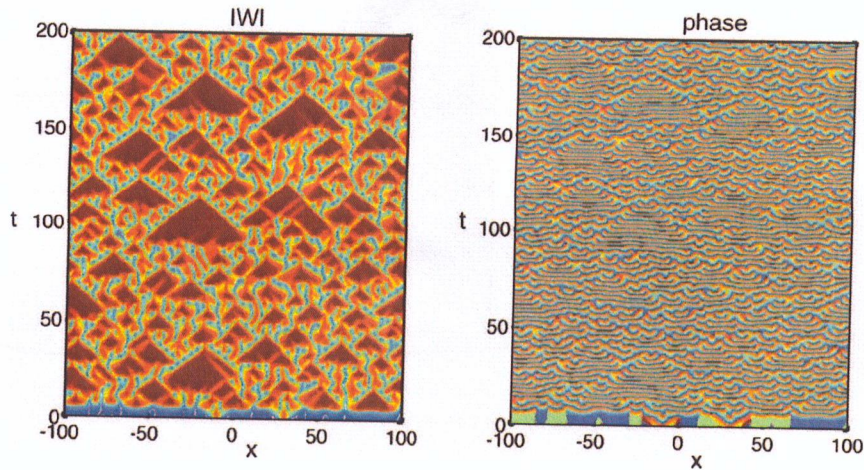


Figure 7. Spatiotemporal evolution of the absolute value $|W|$ of the complex amplitude (left) and phase (right) in a situation of spatiotemporal chaos: $c_1 = 0, c_2 = -3$.

Was passiert bei 2D? $W(x, y, t)$:

$$\frac{\partial W}{\partial t} = W - (1 + ic_2) |W|^2 W + (1 + ic_2) \left(\frac{\partial^2 W}{\partial x^2} + \frac{\partial^2 W}{\partial y^2} \right)$$

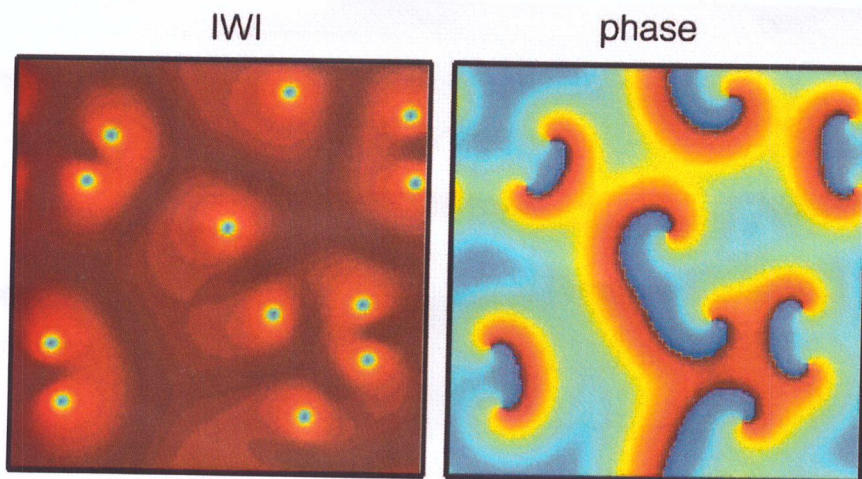


Figure 8. Spatial distribution of the absolute value $|W|$ of the complex amplitude (left) and phase (right) obtained after a transient from the 2D CGLE on a rectangular domain of 76×76 size in a situation of spatiotemporal chaos: $c_1 = 0, c_2 = 1$.

Defekte als Zentren von Spiralwellen in der Phase.

\Rightarrow topologische Ladung

$$w_{\text{top}} = \frac{1}{2\pi} \oint \nabla \phi \cdot ds$$

\uparrow
Contour Integral
(geschlossene Kurve)

\Rightarrow Axiom Kreis schneidet Phase 2π auf.

$$\left(\frac{\partial^2}{\partial x^2} + \frac{\partial^2}{\partial y^2} \right) W(x, y, t) = \Delta W(x, y, t)$$

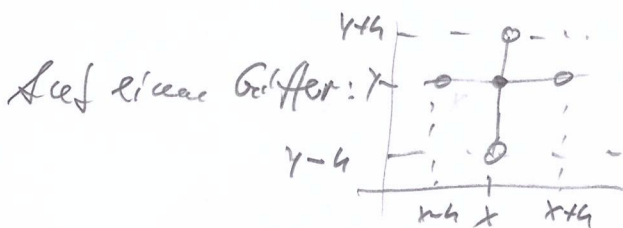
mit Laplace-Operatoren Δ

Siehe Wellengleichung: $\frac{\partial^2 u}{\partial t^2} = c^2 \left(\frac{\partial^2}{\partial x^2} + \frac{\partial^2}{\partial y^2} \right) u$

$$\ddot{u} = c^2 \Delta u$$

$$\Delta u = \text{div grad } u = \text{div} \begin{pmatrix} \frac{\partial u}{\partial x} \\ \frac{\partial u}{\partial y} \end{pmatrix} = \begin{pmatrix} \frac{\partial}{\partial x} & \frac{\partial}{\partial y} \end{pmatrix} \begin{pmatrix} \frac{\partial u}{\partial x} \\ \frac{\partial u}{\partial y} \end{pmatrix} = \frac{\partial^2 u}{\partial x^2} + \frac{\partial^2 u}{\partial y^2}$$

Das Kräftegesetz: $\Delta u(x, y) = \lim_{h \rightarrow 0} \frac{1}{h^2} \left[u(x-h, y) + u(x+h, y) + u(x, y-h) + u(x, y+h) - 4u(x, y) \right]$



Differenzenquotient koppelt

berechnete Gitterpunkte

\Rightarrow Verallgemeinerung: allgemeines Koppelnetzwerk:

$$\frac{\partial u}{\partial t} = W - (1 + iC_2) |u|^2 W + (1 + iC_1) \int H(|x-x'|) [W(x') - W(x)] dx'$$

(i) $H(|x-x'|) = \delta^{(2)}(x-x')$ liefert komplexe Ginzburg-Landau-Gleichung

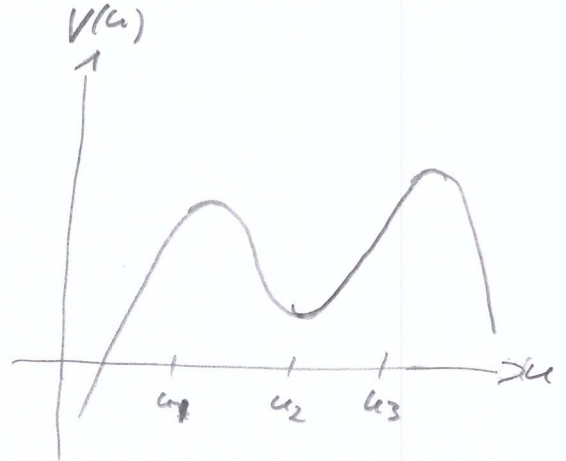
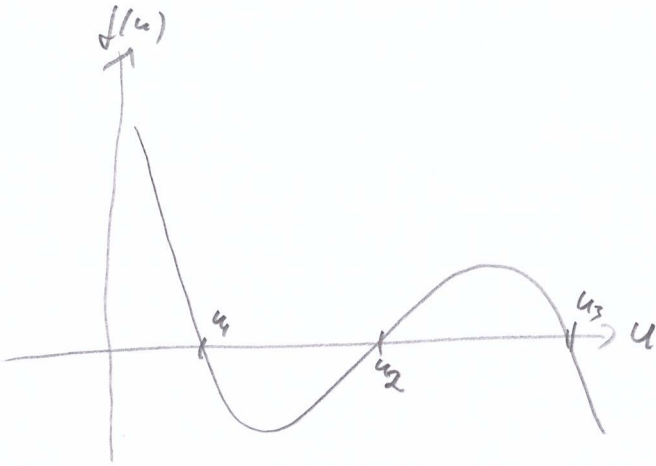
$$\int \delta^{(n)}(x-x') f(x') dx' = (-1)^n \frac{d^n f(x)}{dx^n} \Rightarrow \int \delta^2(x-x') f(x') dx' = \frac{d^2 f(x)}{dx^2}$$

(ii) $H(|x-x'|) = \frac{k}{2\pi D} \exp\left[-\frac{|x-x'|}{D}\right]$

4.3 Reaktionsdiffusionssysteme

Wiederholung: Schlögl-Modell (s. Übung 5)

$$\frac{\partial}{\partial t} u(x,t) = f(u) + D \frac{\partial^2}{\partial x^2} u(x,t) \text{ mit } f(u) = -k(u-u_1)(u-u_2)(u-u_3)$$



mit bewegte Koordinaten: $\xi = x - ct$: $u(x,t) = u(x-ct) = u(\xi)$

$$-c u'(\xi) = f(u) + D u''(\xi)$$

Definiere $V(u) = \int_0^u f(\tilde{u}) d\tilde{u} \Rightarrow \frac{\partial V}{\partial u} = f(u)$ (Potential V)

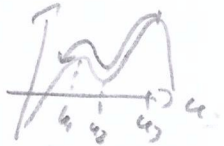
Somit $D u'' = -\frac{\partial V}{\partial u} - c u'$

Bewegung im Potential $V \Rightarrow c \hat{=} \text{Reibungskoeffizient!}$

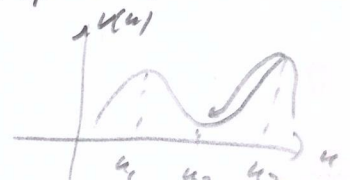
1. Fall $c=0$ (reibungsfrei): Energieerhaltung: $E = V(u) + \frac{1}{2} D \left(\frac{du}{d\xi}\right)^2$

Betrachte $V(u_3) > V(u_1) \Rightarrow A := \int_{u_1}^{u_3} f(u) du > 0$

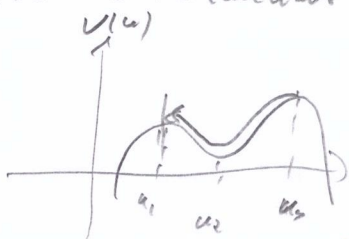
\Rightarrow Teilchen (bei u_3 gestartet) schießt über u_1 hinweg (es bleibt bei u_1 nicht hängen da Energie über.)



2. Fall c groß: Teilchen verliert Energie (Dissipation durch Reibung) und kommt bei u_2 zur Ruhe

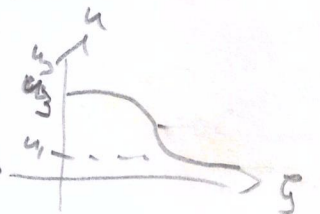


3. Fall: c balanciert Potential an festem $\Delta E = V(u_3) - V(u_1) \Rightarrow c = c_0$



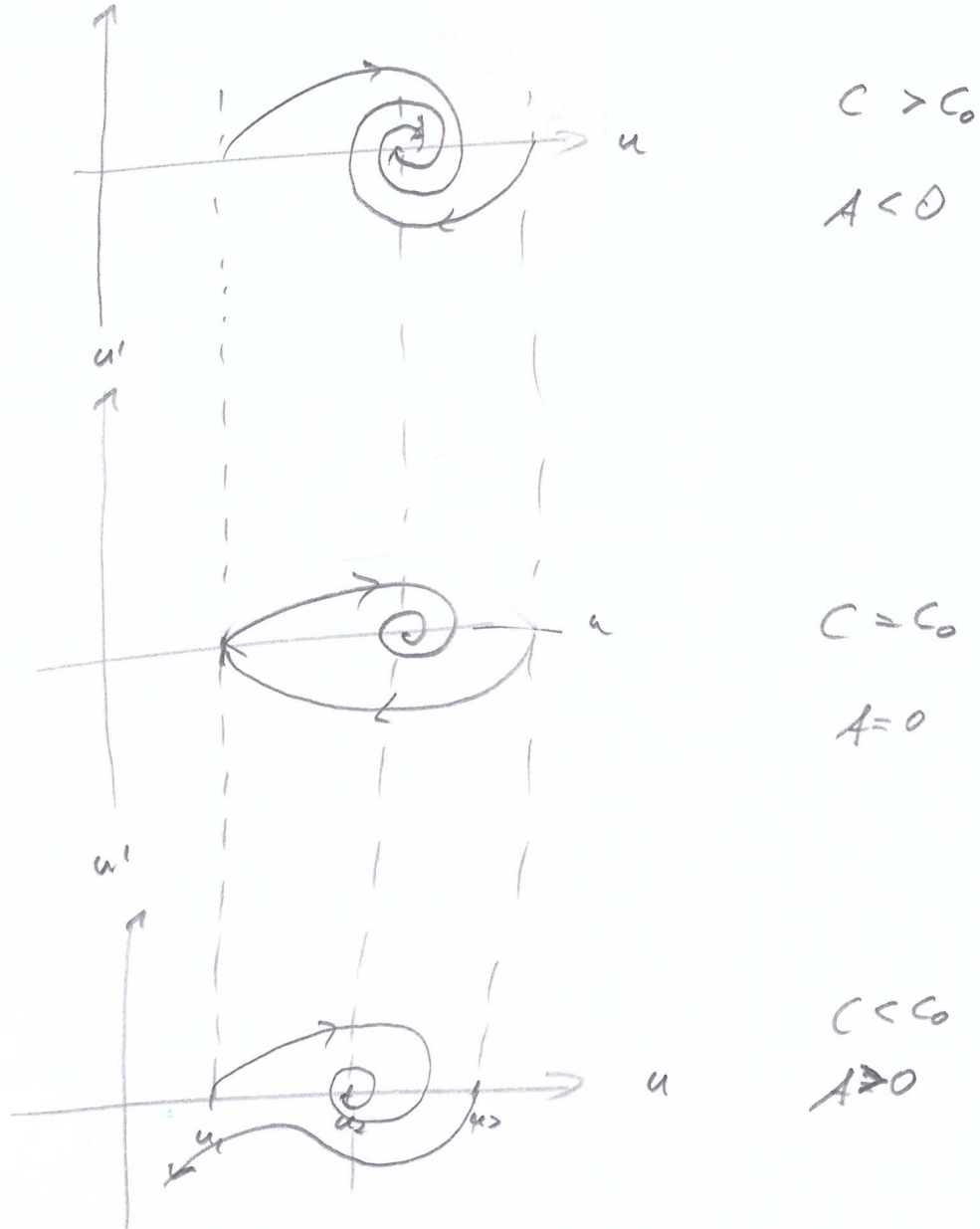
\Rightarrow Teilchen erreicht gerade so u_1

\Rightarrow Lösung: $u \rightarrow u_3$ für $\xi \rightarrow -\infty$
 $u \rightarrow u_1$ für $\xi \rightarrow +\infty$



(Hauseinschrollen) Hausen (T.)

Zusammengefasst:



$C > C_0$

$A < 0$

$C = C_0$

$A = 0$

$C < C_0$

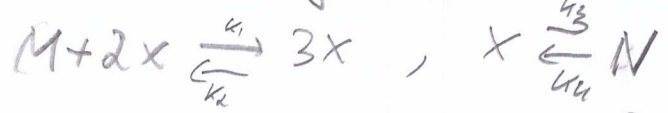
$A > 0$

$$A = \int_{u_1}^{u_3} -k(u-u_1)(u-u_2)(u-u_3) du = 0$$



equal-area rule

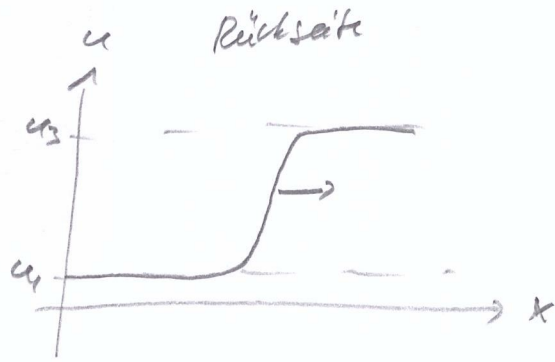
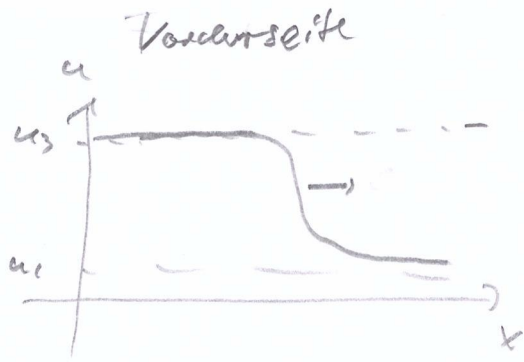
Ursprung: autokatalytische Reaktionen:



Reaktionskinetik: $\dot{X} = k_1 M X^2 - k_2 X^3 - k_3 X + k_4 N$

mit M und N konstant, so ist das Schlögl-Modell

Wandernde Pulse (travelling pulses)



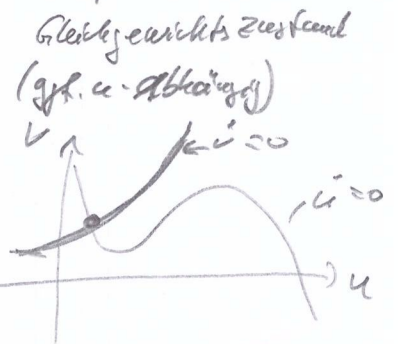
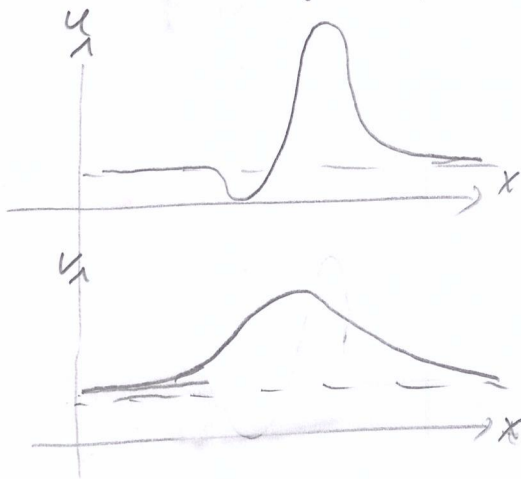
$$\frac{\partial u}{\partial t} = f(u, v) + D \frac{\partial^2 u}{\partial x^2} \Rightarrow A(v) = \int_{u_1}^{u_3} f(u, v) du$$

$A > 0$: Anregung
(Ignition)

$A < 0$: Auslöschung
(Quenching)

u : Aktivator, v : Inhibitor

→ 2. Variable v löst Dynamik aus: $\frac{\partial v}{\partial t} = -\frac{1}{\tau} (v - \bar{v}(u))$

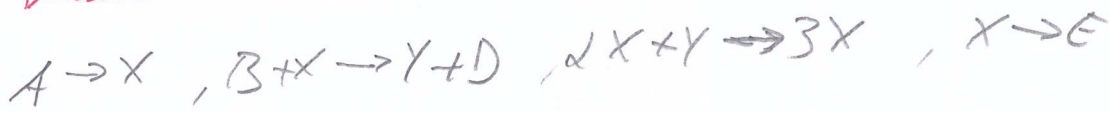


Bsp: FitzHugh-Nagumo-Modell (S. Bcett 5)

$$\epsilon \frac{\partial u}{\partial t} = u - \frac{u^3}{3} - v + D \frac{\partial^2 u}{\partial x^2}$$

$$\frac{\partial v}{\partial t} = u + a$$

Brusselator-Modell



$\Rightarrow u$: Konzentration von X, v : Konzentration von Y:

$$\frac{\partial u}{\partial t} = Au - Bu + u^2v - u + D_u \frac{\partial^2 u}{\partial x^2}$$

$$\frac{\partial v}{\partial t} = Bu - u^2v + D_v \frac{\partial^2 v}{\partial x^2}$$

\Rightarrow Turing-Muster

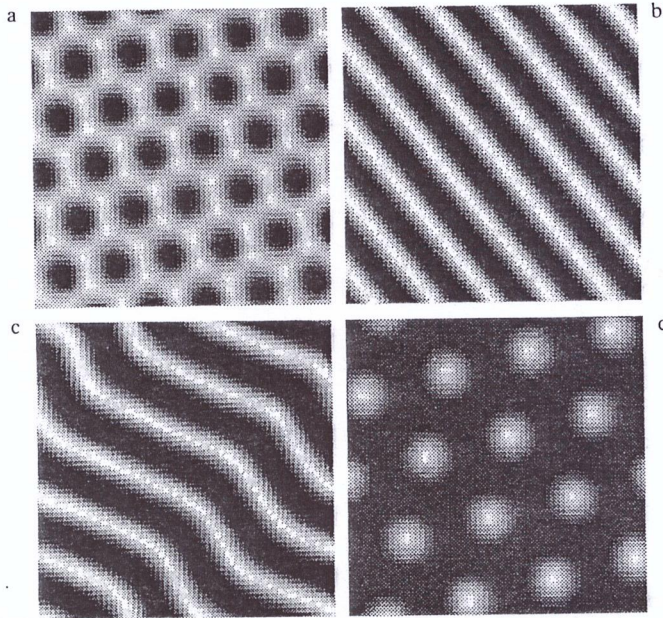


Fig. 5.15a-d. Basic types of two-dimensional Turing-patterns obtained by the numerical simulation of the Brusselator model: (a) a hexagonal lattice of cells, (b) stripes, (c) zig-zag stripes, and (d) a hexagonal lattice of spots. (From [5.32])

aus P. Borner, A. De Witte, Physica A 188 A, 171 (1992)

G. Dewel

Competition in coupled Turing structures

Belousov-Zhabotinskii-Reaktion (BZ-Reaktion)

beschreibbar durch 2 effektive Komponenten:

$$\frac{\partial u}{\partial t} = u(1-u) - \frac{v(u-a)}{a+a} + D_u \frac{\partial^2 u}{\partial x^2}$$

, $a, b > 0$

$$\frac{\partial v}{\partial t} = -\frac{1}{\tau} (v - bu) + D_v \frac{\partial^2 v}{\partial x^2}$$

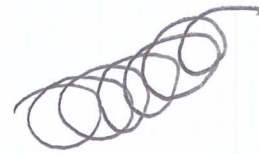
$\tau \gg 1$
(v : langsamer)

Spiralwellen möglich: stationär oder wandernd

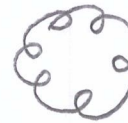
Spiral tip auf Kreis



Spiral tip auf Kurve



oder



Musfer 3D: Scroll waves

Scroll rings

twisted scrolls

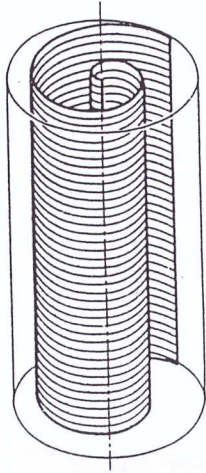


Fig. 3.31. Straight scroll vortex

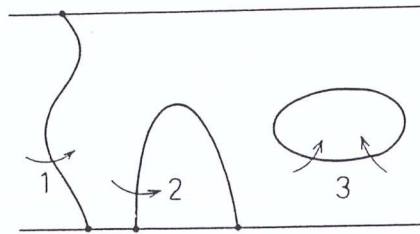


Fig. 3.32. Possible deformations of the vortex filament. Arrows indicate the direction of rotation

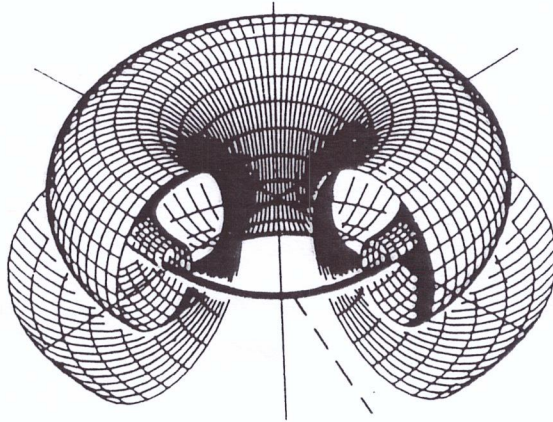


Fig. 3.33. Scroll ring

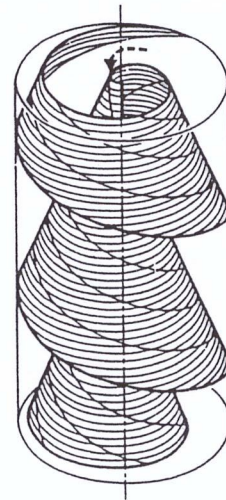
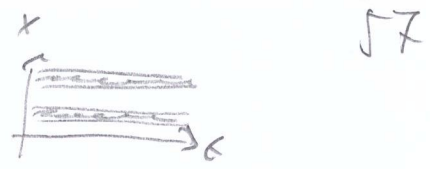


Fig. 3.34. Straight twisted scroll

4.4 Beispiele von unendlichen Mustern



Wiederholung: - Turing: zeitlich konstantes Muster
 - Hopf: homogene Oszillationen

Frage: gibt es das auch gleichzeitig?

↳ W. Just et al. PRE 64, 026219 (2001)

$$2 \text{ Variablen-Modell: } \frac{\partial u}{\partial t} = \alpha [j_0 - (u - \alpha)] + D \left[\frac{\partial^2 u}{\partial x^2} + \frac{\partial^2 u}{\partial y^2} \right]$$

$$\frac{\partial \alpha}{\partial t} = \frac{u - \alpha}{1 + (u - \alpha)^2} - T \alpha + \frac{\partial^2 \alpha}{\partial x^2} + \frac{\partial^2 \alpha}{\partial y^2}$$

u : Spannung, α : Ladungsströmungsdichte, T : Tunnelrate

W. JUST, M. BOSE, S. BOSE, H. ENGEL, AND E. SCHÖLL

PHYSICAL REVIEW E 64 026219

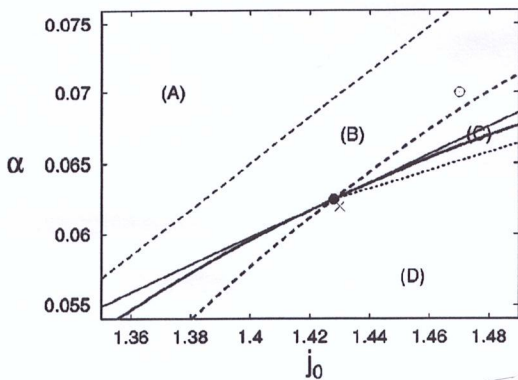


FIG. 3. Different stability regimes in the vicinity of the Turing-Hopf point (full circle) in the (j_0, α) parameter plane. Gray: Turing (broken) and Hopf (full) bifurcation line (see Fig. 1). Existence of Hopf mode [full line, see Eq. (33)], stability of Hopf mode [dotted line, see Eq. (34)], and saddle-node bifurcation of Turing patterns [broken line, see Eq. (60)]. Region (A): trivial solution, region (B): coexistence between trivial solution and Turing pattern, region (C): Turing pattern, region (D): coexistence between Hopf mode and Turing pattern. \times and \circ mark the parameter settings used in Figs. 4 and 7, respectively.

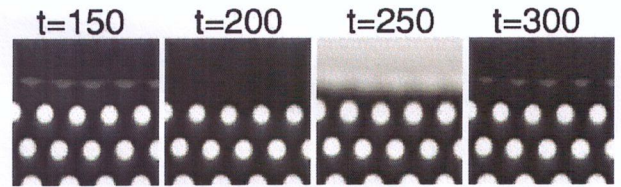
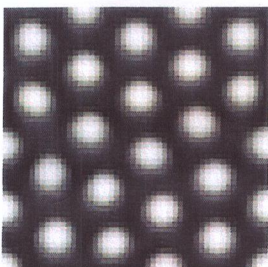


FIG. 5. Coexistence pattern between Turing and Hopf state at $j_0 = 1.43$ and $\alpha = 0.045$. The density plots show the current density $j(r, t)$ at four different times. The time labels refer to Fig. 6.

(a)



(b)

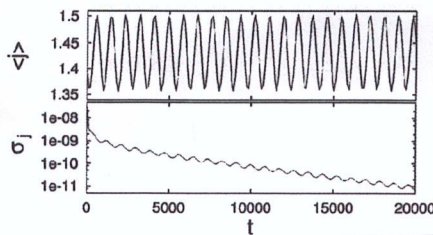


FIG. 4. (a) Density plot of stationary Turing pattern for the current density $j(r, t) = u(r, t) - a(r, t)$. (b) Relaxation of a Hopf mode. Time dependence of the spatial average $\langle j \rangle$ of the current and the corresponding variance $\sigma_j = \langle j^2 \rangle - \langle j \rangle^2$. Parameter settings for both parts are the same ($j_0 = 1.43$, $\alpha = 0.062$, $D = 5$, and $T = 0.05$, see Fig. 3), but different initial conditions had been chosen.

PHYSICAL REVIEW E 64 026219

SPATIOTEMPORAL DYNAMICS NEAR A...

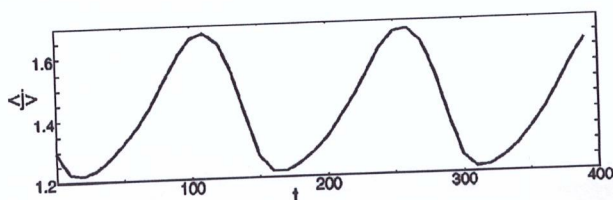


FIG. 6. Time dependence of the spatial average of the current

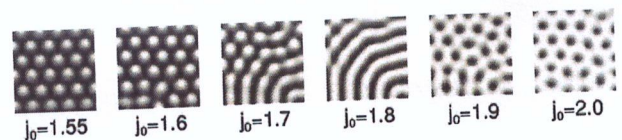
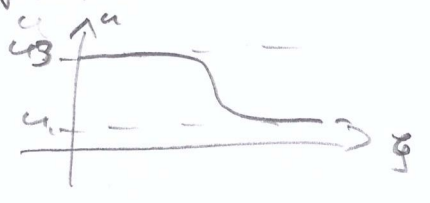


FIG. 8. Time independent patterns appearing for different values of the total current j_0 at $\alpha = 0.075$, $T = 0.05$, and $D = 5$: Transition from hot spots (left) to cold spots (right). Simulations have been performed on a system of size 200×200 with Neumann boundary conditions.

Beweis zu Front-Lösung:

$$\frac{\partial u}{\partial t} = f(u) + D \frac{\partial^2 u}{\partial x^2} \xrightarrow{\xi = x - ct} Du'' + Cu' + f(u) = 0$$

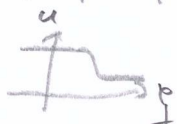


Bestimme C allgemein:

Idee: Multiplizieren mit \$u'\$ und integrieren:

$$D \int_{-\infty}^{\infty} d\xi \frac{d^2 u}{d\xi^2} \frac{du}{d\xi} + C \int_{-\infty}^{\infty} d\xi \left(\frac{du}{d\xi}\right)^2 + \int_{-\infty}^{\infty} d\xi f(u) \frac{du}{d\xi} = 0$$

$$= \frac{1}{2} D \left(\frac{du}{d\xi}\right)^2 \Big|_{-\infty}^{\infty} = 0 \qquad = \int_{u_1}^{u_3} du f(u) = A$$



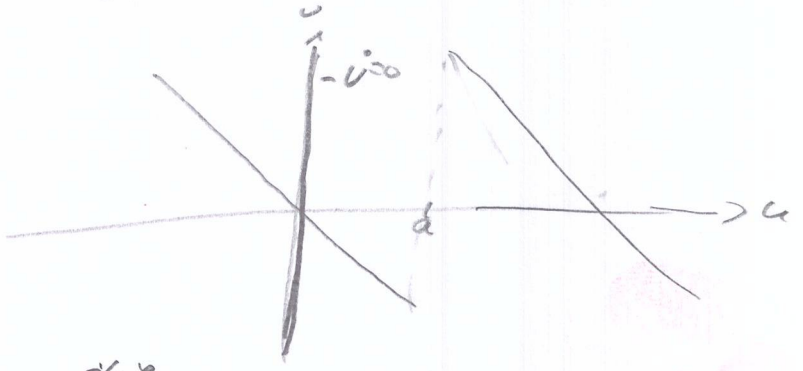
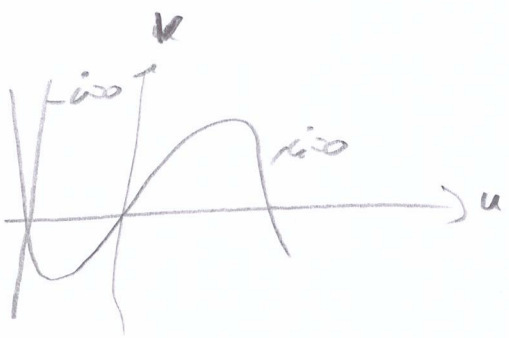
$$\Rightarrow C = \frac{\int_{u_1}^{u_3} du f(u)}{\int_{-\infty}^{\infty} d\xi \left(\frac{du}{d\xi}\right)^2}$$

> 0 für $A > 0$: Zündfront unidirektional (u_1 metastabil)
 < 0 für $A = 0$: equal wave
 < 0 für $A < 0$: Löschefront (u_3 metastabil)

Approximation des Fitzhugh-Nagumo-Modell

$$\epsilon \frac{\partial u}{\partial t} = u - \frac{u^3}{3} - v + \frac{\partial^2 u}{\partial x^2} \quad \left. \begin{array}{l} \\ \\ \end{array} \right\} \rightarrow \begin{array}{l} \frac{\partial u}{\partial t} = -u - H(u-a) + \frac{\partial^2 u}{\partial x^2} \\ \frac{\partial v}{\partial t} = \epsilon u \end{array}$$

$H(u-a) = \begin{cases} 0 & u \leq a \\ 1 & u > a \end{cases}$



\Rightarrow Störweite linear \Rightarrow Lösung aus A1 & A2 zusammensetzen

(John Rinzel, Joseph B. Keller Biophys. Journal 13, 1313 (1973))

$\rho \propto Z$:

$$\begin{aligned}\dot{\alpha} &= s(\eta - \eta\alpha + \alpha - q\alpha^2), \\ \dot{\eta} &= s^{-1}(-\eta - \eta\alpha + f\rho), \\ \dot{\rho} &= w(\alpha - \rho).\end{aligned}\tag{2.5}$$

The parameters s , w and q are determined from the rates of the reactions, see [29, 25].

Krug et al. introduced in [30] the modified Oregonator model, which describes the light sensitivity of the Belousov-Zhabotinsky reaction. For this purpose, the reaction scheme (2.3) was extended by a simple reaction, corresponding to the light-induced bromide flow



which leads to the modified three-component Oregonator model, given by

$$\begin{aligned}\epsilon\dot{x} &= x(1-x) + y(q-x), \\ \epsilon'\dot{y} &= \phi + fz - y(q+x), \\ \dot{z} &= x - z.\end{aligned}\tag{2.6}$$

The parameter ϕ accounts for the light intensity. The following parameter values were suggested: $q = 2 \times 10^{-3}$, $f = 2.1$, $\epsilon = 0.05$, $\epsilon' = \epsilon/8$. With this set of parameters, it was found that for $\phi = 1.762 \times 10^{-3}$ the stable equilibrium in Eq. (2.6) undergoes a Hopf bifurcation, thus giving access to both excitable (monostable) and oscillatory reaction kinetics upon variation of the parameter ϕ near the bifurcation value.

Often, one can exploit the smallness of the parameter ϵ' and set the left-hand side of the second equation in Eq. (2.6) equal zero. In this case the model can be further reduced to the so-called two-component version of Oregonator, which reads

$$\begin{aligned}\dot{u} &= \frac{1}{\epsilon} \left[u - u^2 - (fv + \phi) \frac{u - q}{u + q} \right], \\ \dot{v} &= u - v.\end{aligned}\tag{2.7}$$

We would like to mention that Eq. (2.7) is qualitatively similar to the FitzHugh-Nagumo equation [9, 10], which describes the propagation of the action potential in the squid axons.

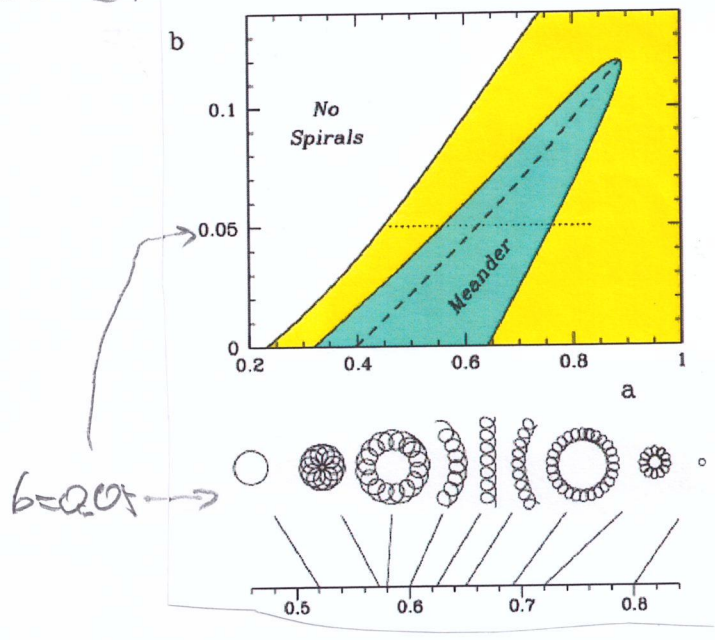
For spatially extended Belousov-Zhabotinsky reaction we must account for diffusion:

$$\begin{aligned}\partial_t u &= \frac{1}{\epsilon} \left[u - u^2 - (fv + \phi) \frac{u - q}{u + q} \right] + D\Delta u, \\ \partial_t v &= u - v.\end{aligned}\tag{2.8}$$

Barkley-Kocbell: $\frac{\partial u}{\partial t} = \frac{1}{\epsilon} u(1-u) \left(c - \frac{v+b}{\omega} \right) + \Delta u$

$\frac{\partial v}{\partial t} = u - v$

Dwight Barkley: *Physica D* 49, 67 (1991)
 + Daele *IJBC* 8, 2529 (1997)



Oregan-Kessler Model: (2D)

$\frac{\partial u}{\partial t} = \frac{1}{\epsilon} \left[u(1-u) - (f v + \phi) \frac{u - \eta}{u + \eta} \right] + D \Delta u$

$\frac{\partial v}{\partial t} = u - v$

Disselkreiffen Grigory Bardyagov (2006)

V. Zykov et al.: *PRL* 92, 044301 (2004)

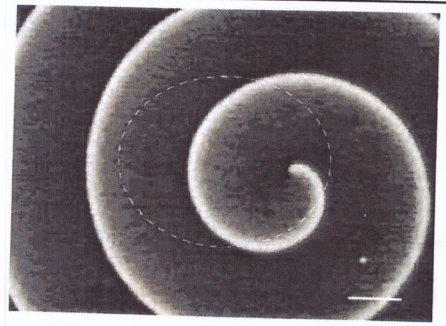


FIG. 1. Snapshot of a spiral wave rotating in a thin layer of the BZ reaction. The dashed line indicates the boundary of the wave.

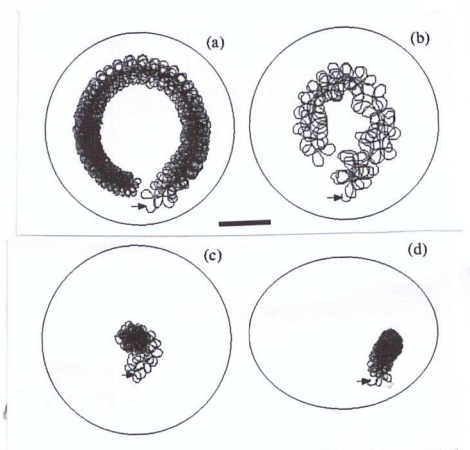


FIG. 2. Resonant drift of a spiral wave induced by a global feedback with $k_{fb} = -1.5$, $B_0 = 25$, and $I_0 = 70$. (a)-(c) Circular domain of radius $R = \lambda$; (d) elliptical domain with large axis $a = 2\lambda = 4$ mm and small axis $b = a/1.25$. In (a) and (d), the time delay is $\tau = 0$, in (b) $\tau/T_\infty = 0.32$, and in (c) $\tau/T_\infty = 0.5$. Initial spiral tip locations are marked by arrows. Scale bar: 1 mm.

Frage: Wann gibt es eine diffusive Instabilität?

Annahme: ohne Diffusion ist das System stabil

$$\frac{\partial u}{\partial t} = f_1(u, v) + D_1 \frac{\partial^2 u}{\partial x^2}$$

$$\frac{\partial v}{\partial t} = f_2(u, v) + D_2 \frac{\partial^2 v}{\partial x^2}$$

Linearisierung:

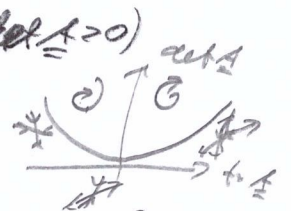
$$A = \begin{pmatrix} \frac{\partial f_1}{\partial u} - D_1 k^2 & \frac{\partial f_1}{\partial v} \\ \frac{\partial f_2}{\partial u} & \frac{\partial f_2}{\partial v} - D_2 k^2 \end{pmatrix} = \begin{pmatrix} a_{11} - D_1 k^2 & a_{12} \\ a_{21} & a_{22} - D_2 k^2 \end{pmatrix}$$

$$\Rightarrow \text{tr } A = \frac{\partial f_1}{\partial u} + \frac{\partial f_2}{\partial v} - (D_1 + D_2) k^2 = a_{11} + a_{22} - (D_1 + D_2) k^2$$

$$\det A = (a_{11} - D_1 k^2)(a_{22} - D_2 k^2) - a_{12} a_{21}$$

Instabilität für (i) $\text{tr } A > 0$ (Fokus oder Knoten für $\det A > 0$)

(ii) $\det A < 0$ (Sattel)



(ii) $a_{11} + a_{22} - (D_1 + D_2) k^2 < 0$, weil $(a_{11} + a_{22}) < 0$, damit System für $D_1 = D_2 = 0$ stabil ist!

$$\Rightarrow \text{(ii) } \det A = \underbrace{a_{11} a_{22} - a_{12} a_{21}}_{\det A_0} - (D_1 a_{22} + D_2 a_{11}) k^2 + D_1 D_2 k^4$$

$$\det A_0 = \det A(D_i = 0) > 0$$

Beweis analog wie (i)

Instabilität bei $\det A = 0 \Rightarrow$ reelle Nullstellen von Polynom in $k^2 = q$

$$\Rightarrow P(q) = (D_1 a_{22} + D_2 a_{11}) q + \det A_0 \stackrel{!}{=} 0$$

$$\Rightarrow q_{1/2} = \frac{1}{2D_1 D_2} \left((D_1 a_{22} + D_2 a_{11}) \pm \sqrt{(D_1 a_{22} + D_2 a_{11})^2 - 4 D_1 D_2 \det A_0} \right)$$

$$\Rightarrow \text{(a) } D_1 a_{22} + D_2 a_{11} > 0$$

$$\text{(b) } (D_1 a_{22} + D_2 a_{11})^2 > 4 D_1 D_2 \det A_0$$

67

$$(a) \quad a_{22} + a_{11} \frac{D_2}{D_1} > 0 \quad \Leftrightarrow \quad s = \frac{D_2}{D_1} > -\frac{a_{22}}{a_{11}} > 0$$

$$\begin{aligned} & a_{22} + a_{11} < 0 \\ \Rightarrow & -\frac{a_{22}}{a_{11}} > 1 \end{aligned}$$

$$\begin{aligned} & a_{11} < 0 \quad \text{oder} \quad a_{22} < 0 \\ & a_{22} > 0 \quad \text{oder} \quad a_{11} > 0 \end{aligned}$$

$$(b) \quad \left(a_{22} + a_{11} \frac{D_2}{D_1} \right)^2 > 4 \frac{D_2}{D_1} \det_{\underline{A}_0} \quad \text{d.h. } s$$

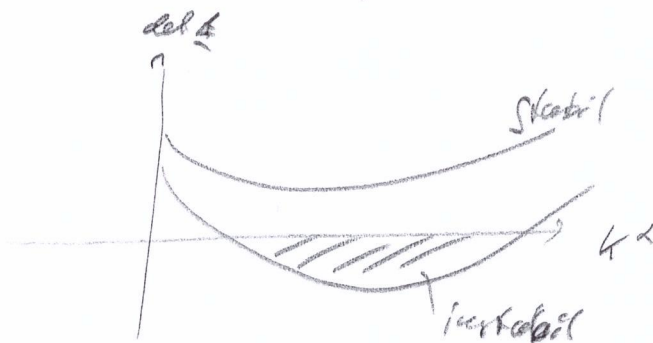
$$\Rightarrow (a_{22} + a_{11} s)^2 > 4 \det_{\underline{A}_0} s$$

$$\Rightarrow s^2 + s \left(\frac{-4 \det_{\underline{A}_0} + 2 a_{22} a_{11}}{a_{11}^2} \right) + \frac{a_{22}^2}{a_{11}^2} > 0$$

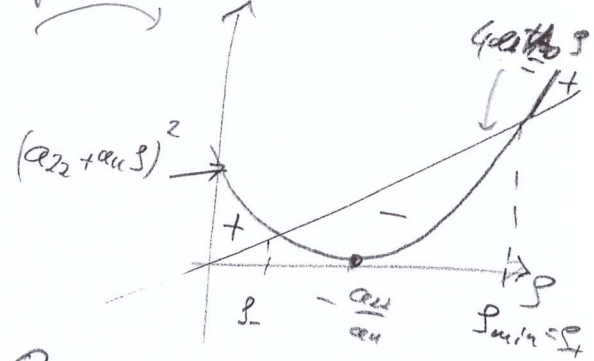
$$\Rightarrow s_{\pm} = \frac{1}{a_{11}^2} \left(2 \det_{\underline{A}_0} - a_{22} a_{11} \pm \sqrt{(2 \det_{\underline{A}_0} - a_{22} a_{11})^2 - a_{11} a_{22}} \right)$$

$$= \frac{1}{a_{11}^2} \left(2 \det_{\underline{A}_0} - a_{11} a_{22} \pm 2 \sqrt{\det_{\underline{A}_0} (\det_{\underline{A}_0} - a_{11} a_{22})} \right)$$

\Rightarrow Unterschied in Diffusionskoeffizienten muss groß genug sein!



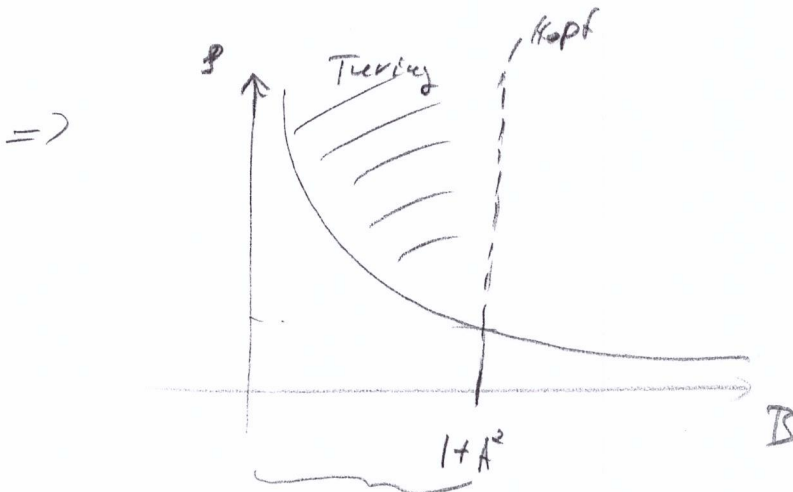
graphische Lösung



Zurück zu Brüsseler-Kochell: $a_{11} = B - 1 > 0$, $a_{22} = -A^2 < 0$

82

$$\begin{aligned} \frac{D_2}{D_1} > \text{Stabilität} &= \frac{1}{(B-1)^2} \left(2A^2 + (B-1)A^2 + 2 \sqrt{\frac{A^2(A^2 + (B-1)A^2)}{+BA^2}} \right) \\ &= \frac{1}{(B-1)^2} \left(A^2(B+1) + 2A^2\sqrt{B} \right) \\ &= \frac{A^2}{(B-1)^2} \left(B+1 + 2\sqrt{B} \right) \\ &= \frac{A^2 (\sqrt{B}+1)^2}{(B-1)^2} = \frac{A^2 (\sqrt{B}+1)^2}{[(\sqrt{B}-1)(\sqrt{B}+1)]^2} \\ &= \frac{A^2}{\sqrt{B}-1} \end{aligned}$$



$B < 1 + A^2 \Rightarrow \text{Stabilität}$

Frage: What about the following SJS fms?

(1) $\dot{u} = R_1(u, v) u$ R_1 : Wachstumsrate
 $\dot{v} = R_2(u, v) v$

Gibt es für negative Wachstumsraten Kreisbildung (eindeutige Differenzial)

(2) $\dot{u} = R(u) u - p(u) v$ R : Wachstumsrate u
 $\dot{v} = e p(u) v - \mu(v) v$ μ : Mortalität Räuber v
 p : per capita Fressrate
 e : Konversionskoeffizient

⇒ Räuber-Beute-Modell
 $(u) \quad (v)$

Gibt es kein Kreisbildung (eindeutige Differenzial)?

Teste $\text{tr} A$, $\det A$...

(1) $A_0 = \begin{pmatrix} u \frac{\partial R_1}{\partial u} + R_1 & \frac{\partial R_1}{\partial v} + 1 \\ \frac{\partial R_2}{\partial u} & v \frac{\partial R_2}{\partial v} + R_2 \end{pmatrix} \Rightarrow \text{tr} A_0 = u \frac{\partial R_1}{\partial u} + R_1 + v \frac{\partial R_2}{\partial v} + R_2$
 $\det A_0 = \underbrace{R_1 R_2}_{>0} - \underbrace{\frac{\partial R_1}{\partial v} \frac{\partial R_2}{\partial u}}_{>0} \geq 0$
 $\text{tr} A_0 = R_1 + R_2 < 0$
 \uparrow
 $u^* = 0 = v^*$

(2) $A_0 = \begin{pmatrix} R(0) & -p(0) \\ 0 & -\mu(0) + e p(0) \end{pmatrix} \Rightarrow ?$ für triviale FP $u^* = 0, v^* = 0$
 ? für nicht-triviale FP $u^* > 0, v^* > 0$

Bsp: Reaktionsdiffusionsmodell in der Natur

CS-Konto Netzen 376, 765 (1995)

$\frac{\partial A}{\partial t} = C_1 A + C_2 I + C_3 - D_A \frac{\partial^2 A}{\partial x^2} - g_A A$
 $\frac{\partial I}{\partial t} = C_4 A + C_5 - D_I \frac{\partial^2 I}{\partial x^2} - g_I I$

Recherche für:

- a) Taylor-Couette-Instabilität
- b) Rayleigh-Plateau-Instabilität
- c) Saffman-Taylor-Instabilität
- d) Kelvin-Helmholtz-Instabilität

a) Taylor-Couette-Instabilität



Navier-Stokes-Gleichung:

$$\rho \frac{d\mathbf{v}}{dt} = \rho \frac{\partial \mathbf{v}}{\partial t} + \rho (\mathbf{v} \cdot \nabla) \mathbf{v} = -\nabla P + \mu \Delta \mathbf{v} + \left(\rho + \frac{\mu}{\beta}\right) \nabla(\nabla \cdot \mathbf{v}) + \mathbf{f}$$

- ρ : Dichte
- \mathbf{v} : Geschwindigkeit
- P : Druck
- μ : dynamische Viskosität, β : Volumenkohäsion
- \mathbf{f} : Volumenkraftdichte

Für inkompressible Flüssigkeiten: $\nabla \cdot \mathbf{v} = 0$

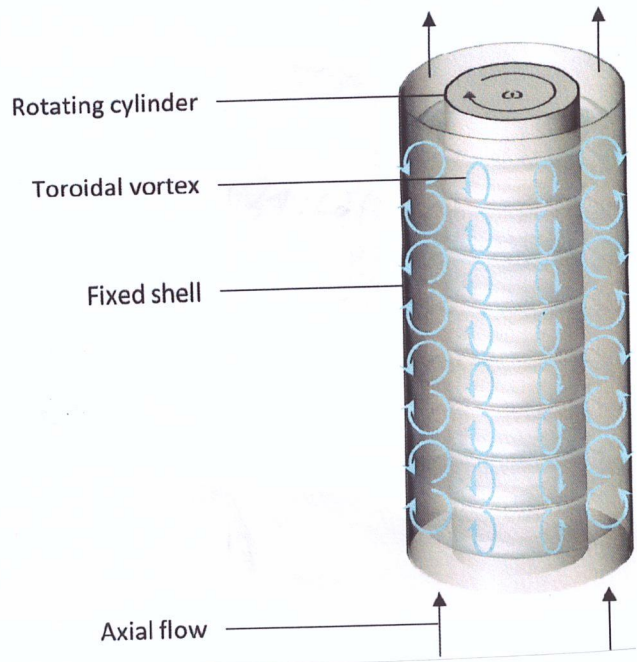
$$\rho \frac{\partial \mathbf{v}}{\partial t} + (\mathbf{v} \cdot \nabla) \mathbf{v} = -\nabla P + \mu \Delta \mathbf{v} + \mathbf{f}$$

in Zylinderkoordinaten: r, θ, z : $\omega = A r + \frac{B}{r}$



Bei zu großem ω :

- Zentrifugale Instabilität
- löst Torus-förmige Vortices aus
- \Rightarrow Taylor-Couette Strömung



Instabilitäten höherer Ordnung

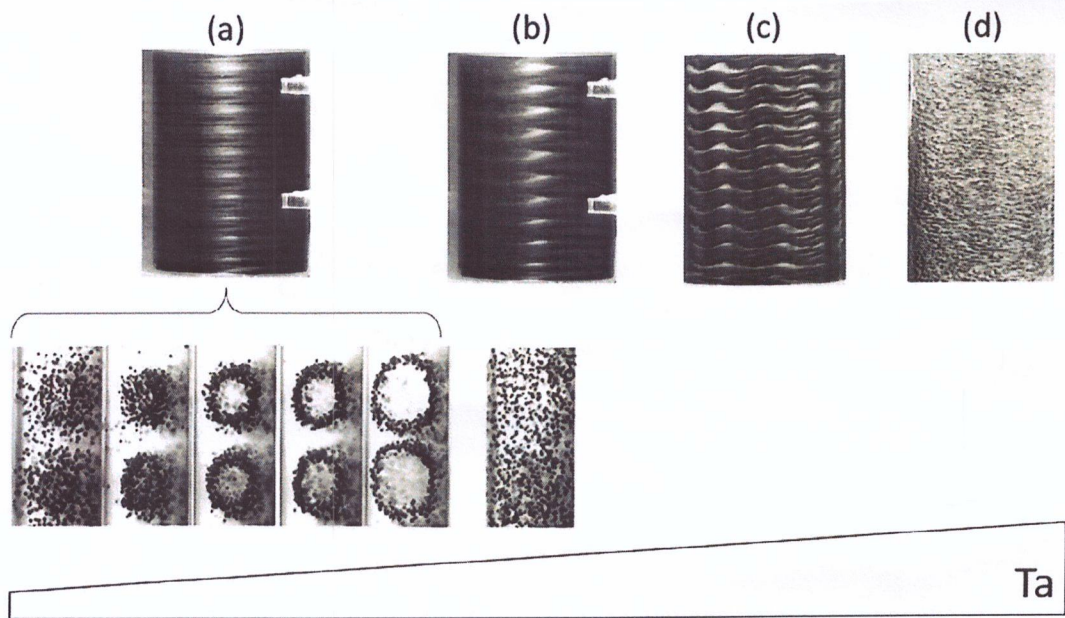
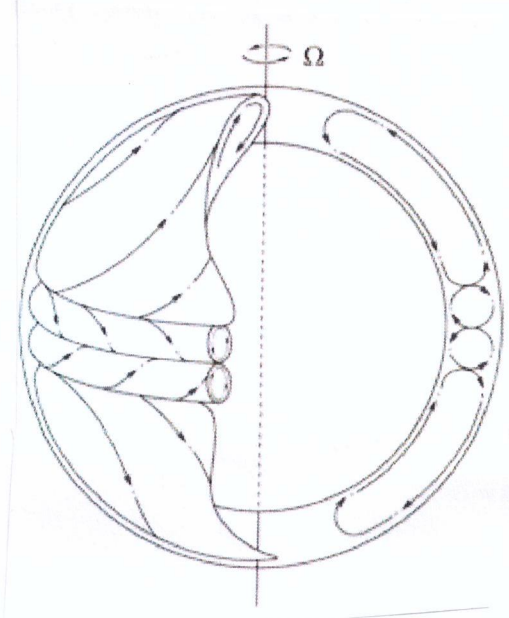
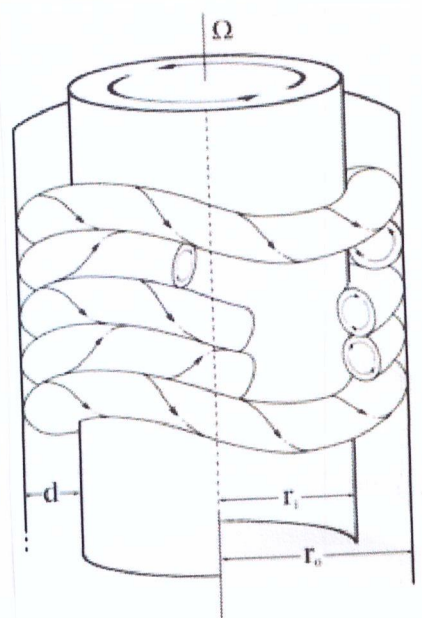


FIGURE 3 Transition through the major flow types in a Taylor-Couette reactor and equilibrium locations of neutrally buoyant particles with growing Taylor number. (a) Taylor-vortex flow, (b) Wavy vortex flow, (c) modulated wavy vortex flow, (d) turbulent flow. Images for (a) and (b) captured by Majji and Morris (edited for increased simplicity).³¹ Reproduced with permission from AIP Publishing. Copyright 2018. Pictures for (c) and (d) taken by Andereck.¹⁴ Reproduced with permission from Cambridge University Press. Copyright 2006



Rayleigh-Plateau-Instabilität (b)

die von der Oberflächenspannung getriebene, spontane Umwandlung eines flüssigen Zylinders in einzelne Tropfen. (X)

Bsp: Drosselt man den Strahl aus einem Wasserhahn stark, so kommt er am Boden des Waschbeckens in Form einzelner Tropfen an. Der zunächst zylindrische Strahl hatte genügend Zeit, beim Fall in einzelne Tropfen zu zerfallen. Er tut dies, weil die Kugelform (Tropfen) das günstigere Verhältnis von Volumen zu Oberfläche aufweist als der Zylinder (Strahl) \rightarrow Plateaus Analyse von Savarts Experiment führt zu $\lambda \approx 8,8a$ a : Radius

Bsp: Tautropfen auf Spinnennetz

Bsp: Wasserfarben auf Keramik (hydrophile Streifen vor hydrophobem Hintergrund)

x) ein Wasserstrahl (flüssiger Zylinder) zerfällt spontan in eine Perlschnur einzelner Tropfen, weil sich durch die Gesamtoberfläche des Wassers verringert.

a: Radius des Wasserzylinders

b: momentaner Radius

$\langle b \rangle$: Mittelwert von b

$\xi_k \ll a$: Schwingungsamplitude

Zylinder instabil gegenüber jeder periodischen Deformation mit $k < k_c = \frac{1}{a}$ bzw $\lambda > 2\pi a$.

Wachstumsrate einer Mode mit $k < k_c$:

Viskosität vernachlässigbar \rightarrow einfache Berechnung der ~~Flu~~ Geschwindigkeit $\vec{u}(x, r)$ verbunden mit der Rate der Änderung von S_k

Laplace-Gleichung $\Delta \phi = 0 \Rightarrow$ Lösung $\phi \sim \cos(kx) f(r) \frac{\delta S_k}{\delta t}$

$T = E_{kin} \sim \left(\frac{\delta S_k}{\delta t} \right)^2$ mittlere kinet. Energie pro Längeneinheit

\hookrightarrow Proportionalitätskonstante

\Rightarrow Bewegungsgleichung $\frac{\delta^2 S_k}{\delta t^2} \leftrightarrow S_k$

\Rightarrow Rayleigh $S_k = 0$ für $k = k_c$

S_k maximal für $k = 0,697 k_c$ bzw $\lambda = 9,02 a$

Savarts Experiment: $\lambda = 8,8 a$

2% Fehler sind Messfehler

$S_k = \frac{\text{momentane Wachstumsrate}}{\text{Amplitude}} = \frac{\dot{S}_k}{S_k}$

c) Saffman-Taylor-Instabilität (viscous fingering)

Grenzschicht zwischen 2 Flüssigkeiten

Siehe auch Rayleigh-Taylor-Instabilität

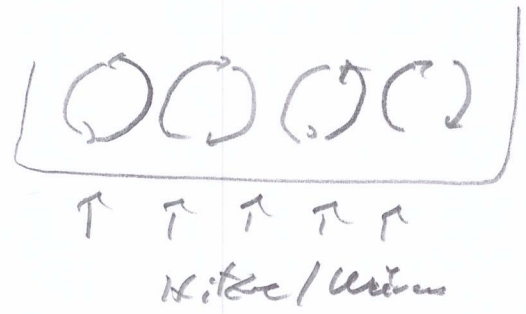
d) Kelvin-Helmholtz-Instabilität

Ursache: kleine Störung durch Scherung zweier Fluide mit unterschiedlichen Strömungsgeschwindigkeiten

↳ Wellen, Wirbel, Wolken



e) Rayleigh-Benard-Konvektion



5. Zusammenfassung

1. Einführung: Dynamische Systeme

- 1.1 Vektorfelder als dynamisches System
- 1.2 Stabilität und Langzeitverhalten

2. Bifurkation

- 2.1 Eigenwert-Null-Bifurkation
- 2.2 Hopf-Bifurkation
- 2.3 Lokale Bifurkation von Grenzzyklen
- 2.4 Globale Bifurkation von Grenzzyklen
- 2.5 Bifurkation räumlicher Muster

3. Deterministisches Chaos

- 3.1 Klassifikation
- 3.2 Definitionen
- 3.3 Seltsame Attraktoren
- 3.4 Chaos-Kontrolle

4. Strukturbildung und Muster

- 4.1 Einführung
- 4.2 Komplexe Ginzburg-Landau-Gleichung
- 4.3 Reaktions-diffusions Systeme
- 4.4 Beispielsysteme räumlicher Muster

5. Zusammenfassung

1. Übung

- Love Affairs
- Maxwell-Bloch-Gleichungen

2. Übung

- Erzeugung einer demonstrativen (oder Modell)
- Poincaré-Abbildung
- (• Poincaré-Bendixson-Theorem)

3. Übung

- zeitliche diskrete Abbildungen
- Lorenz-System revisited

4. Übung

- Henon-Abbildung
- Ogy-Kontrolle revisited
- Delay embedding

5. Übung

- Komplexe Grenzzyklus-Landau-Gleichung
- Fitzhugh-Nagumo-Modell
- Schlögl-Modell

6. Übung

- Brusselator-Modell revisited
- Chaotisches Wasserrad
- Freie Rotation eines starren Körpers

7. Übung

- Poincaré-Bendixson-Theorem

1. Blatt

1. Lotka-Volterra-Modell
2. Van-der-Pol-Oszillator

2. Blatt

3. Poincaré-Abbildung
4. Reduziertes SWIFER-Modell

3. Blatt

5. Logistische Abbildung
6. Homoklines Orbit im Lorenz-System

4. Blatt

7. Henon-Schwarzschild und Probleme / Dimension
8. Ogy-Kontrolle-Ogy-Kontrolle

5. Blatt

9. Begegnung-Feld-Turbulenz
10. Fitzhugh-Nagumo-System

6. Blatt

11. Stabilität der freien Rotation eines starren Körpers
12. Chaotisches Wasserrad